電波法関係審査基準(平成13年総務省訓令第67号)の一部を改正する。(下線部が変更箇所を示す。)

改正案 別紙 2 (第 5 条関係) 無線局の目的別審査基準 [第 1 略] 第 2 陸上関係

- 1 電気通信業務用
- $[(1)\sim(6)$  略]
- (7) 6 GHz 帯の周波数の電波を使用する固定局
- ア 適用範囲

この審査基準は、6 GHz帯 (5,925MHzを超え6,425MHz以下) の周波数の電波を使用する電気通信業務の用に供する固定局の 開設等の審査に関して適用する。

### イ 伝送方式

審査に当たっては、表1に示す占有周波数帯幅の許容値及び標準的な変調方式の組合せに対応させて審査を行うこと。

表1 適用伝送方式(占有周波数帯幅の許容値及び標準的な変調方式の組合せ)

組合せ	占有周波数帯幅の 許容値	標準的な変調方式注
1)	5MHz	4PSK
2	9.5MHz	256QAM
3	18.5MHz	16QAM
4		64QAM
(5)		256QAM
<u>⑥</u>		<u>512QAM</u>
<u>⑦</u>		<u>1024QAM</u>
<u>®</u>		<u>2048QAM</u>
9	36.5MHz	64QAM

# 別紙2 (第5条関係) 無線局の目的別審査基準

列棋 Z (男 3 条関係) 無縁同り目的別番宜星

[第1 同左]

第2 [同左]

1 [同左] [(1)~(6) 略]

(7) 「同左〕

[ア 同左]

### イ 伝送方式

審査に当たっては、表1に示す占有周波数帯幅の許容値及び標準的な変調方式の組合せに対応させて審査を行うこと。

現行

表1 適用伝送方式(占有周波数帯幅の許容値及び標準的な変調方式の組合せ)

<b>交响万元</b>	/ HA C /	
組合せ	占有周波数帯幅の 許容値	標準的な変調方式注
	N TIE	
1	5MHz	4PSK
2	9.5MHz	256QAM
3	18.5MHz	16QAM
4		64QAM
(5)		256QAM
6	36.5MHz	64QAM
7	53.5MHz	16QAM

注 直交周波数分割多重変調方式(OFDM 方式)については、いずれ かの変調方式の項目に対応すること。

<u>10</u>		<u>512QAM</u>
<u>(1)</u>		<u>1024QAM</u>
<u>12</u>		<u>2048QAM</u>
13	53.5MHz	16QAM
<u>(14)</u>		<u>512QAM</u>
<u>15</u>		<u>1024QAM</u>
<u>16</u>		2048QAM

注 直交周波数分割多重変調方式 (OFDM 方式) については、いずれかの変調方式の項目に対応すること。

#### 「ウ略)

エ 無線設備の工事設計

### 「(ア) 略]

(イ) 通信装置

A 主信号については、表2のいずれかの変調方式、これらの方式と同等以上の性能を有するもの又はこれらの方式より多値数の低いものからこれらの方式と同等以上の性能を有するものまでを切り替えるものにより伝送するものであること。なお、変調方式の切替えを行う場合、切替えを予定している全ての変調方式を工事設計書に記載することとし、イにおいて審査を行う標準的な変調方式として表1のいずれかに該当するものが明記されていること。

表 2 変調方式

変調方式
2048値直交振幅変調方式(2048QAM)
1024値直交振幅変調方式(1024QAM)
512値直交振幅変調方式(512QAM)
256値直交振幅変調方式(256QAM)

### 「ウ 同左]

エ 無線設備の工事設計

### 「(ア) 同左]

### (イ) 通信装置

A 主信号については、表2のいずれかの変調方式、これらの方式と同等以上の性能を有するもの又はこれらの方式より多値数の低いものからこれらの方式と同等以上の性能を有するものまでを切り替えるものにより伝送するものであること。なお、変調方式の切替えを行う場合、切替えを予定している全ての変調方式を工事設計書に記載することとし、イにおいて審査を行う標準的な変調方式として表1のいずれかに該当するものが明記されていること。

表 2 変調方式

変調方式
256値直交振幅変調方式(256QAM)
64値直交振幅変調方式(64QAM)
16値直交振幅変調方式(16QAM)
4 相位相変調方式(4PSK)
直交周波数分割多重変調方式(OFDM方式)

## 64値直交振幅変調方式 (64QAM)

### 16値直交振幅変調方式(16QAM)

## 4相位相変調方式(4PSK)

## 直交周波数分割多重変調方式(OFDM方式)

[B~C 略]

- (ウ) 受信装置
- A 復調方式は、同期検波方式であること。
- B <u>受信感度に</u>ついては、表3の条件を満足するものであること。

# 表 3 受信感度

占有周波数帯幅の 許容値	標準的な変調方式	<u>受信感度</u> (BER=1×10 <sup>-4</sup> )
53.5MHz以下	2048QAM	-50.7dBm以下
36.5MHz以下		-52.4dBm以下
18.5MHz以下		-55.3dBm以下
<u>53.5MHz以下</u>	<u>1024QAM</u>	-54.2dBm以下
36.5MHz以下		-55.9dBm以下
18.5MHz以下		-58.8dBm以下
53.5MHz以下	<u>512QAM</u>	-57.7dBm以下
36.5MHz以下		-59. 4 dBm以下
18.5MHz以下		-62.3dBm以下
18.5MHz以下	256QAM	-62.9dBm以下
9.5MHz以下		-65.8dBm以下
36.5MHz以下	64QAM	-67.4dBm以下

### 「B~C 同左]

- (ウ) 受信装置
- A 復調方式は、同期検波方式であること。
- B <u>等価雑音帯域幅及び雑音指数</u>については、表3の条件を満足するものであること。

### 表3 等価雑音帯域幅及び雑音指数

	* * <u>- * 110 110 110 110 110 110 110 110 110 1</u>	17. 外面人 0 / 图 1 1	<i>77</i> •
占有周波数帯幅 の許容値	標準的な変調方 式	等価雑音帯域幅	雑音指数
18.5MHz以下	256QAM	17.5MHz以下	
9.5MHz以下		9.0MHz以下	
36.5MHz以下	64QAM	34.5MHz以下	5dB以下
18.5MHz以下		17.5MHz以下	OGDS/( )
53.5MHz以下	16QAM	51.0MHz以下	
18.5MHz以下		17.5MHz以下	
5.0MHz以下	4PSK	4.5MHz以下	

18.5MHz以下		-70.3dBm以下
53.5MHz以下	16QAM	-70.7dBm以下
18.5MHz以下		<u>-74.8dBm以下</u>
5. 0MHz以下	4PSK	<u>-87.4dBm以下</u>

# [(エ)~(カ) 略]

## (キ) 受信入力

占有周波数带幅	標準的な	受信力	<b>力</b> 注1
の許容値	変調方式	標準受信入力	最大受信入力
<u>53.5MHz以下</u>	<u>2048QAM</u>	$\underline{-20 \pm 3 dBm}$	<u>-14dBm</u>
36.5MHz以下		$-22 \pm 3 dBm$	<u>-16dBm</u>
18.5MHz以下		$\underline{-25 \pm 3 dBm}$	<u>-19dBm</u>
<u>53.5MHz以下</u>	<u>1024QAM</u>	$-25 \pm 3 \text{dBm}$	<u>-19dBm</u>
36.5MHz以下		$\underline{-27 \pm 3 dBm}$	<u>-21dBm</u>
18.5MHz以下		$-30 \pm 3 dBm$	<u>-24dBm</u>
53.5MHz以下	<u>512QAM</u>	<u>-28±3dBm</u>	<u>-22dBm</u>
36.5MHz以下		$-30 \pm 3 dBm$	<u>-24dBm</u>
18.5MHz以下		$-33 \pm 3$ dBm	<u>-27dBm</u>
18.5MHz以下	256QAM	$-37 \pm 3$ dBm	—31dBm
9.5MHz以下		$-40\pm3$ dBm	-34dBm
36.5MHz以下	64QAM	$-37 \pm 3$ dBm	—31dBm
18.5MHz以下		$-40\pm3$ dBm	—34dBm
53.5MHz以下	16QAM	$-37 \pm 3$ dBm	—31dBm
		$-46\pm3$ dBm	-40dBm
		注2	注 2

# [(エ) ~ (カ) 同左]

## (キ) 受信入力

占有周波数带幅		受信力	力注1
の許容値	変調方式	標準受信入力	最大受信入力
18.5MHz以下	256QAM	$-37 \pm 3$ dBm	—31dBm
9.5MHz以下		$-40\pm3$ dBm	—34dBm
36.5MHz以下	64QAM	$-37 \pm 3$ dBm	—31dBm
18.5MHz以下		$-40\pm3$ dBm	—34dBm
53.5MHz以下	16QAM	$-37 \pm 3$ dBm	—31dBm
		$-46\pm3$ dBm	—40dBm
		注2	注 2
18.5MHz以下		$-43\pm3$ dBm	—37dBm
5.0MHz以下	4PSK	$-57 \pm 3$ dBm	—51dBm
		注3	

- 注1 受信入力は、標準受信入力の範囲内に設定することとする。 ただし、フェージングの激しい区間又は干渉の激しい区間においては、最大受信入力まで設定を行うことを可能とする。
- 注2 1区間において対向するいずれかの局が2.0mφ以下の空中 線を使用する場合とする。
- 注3 SD採用時の最小受信入力は-63dBmとする。

18.5MHz以下		$-43\pm3$ dBm	—37dBm
5.0MHz以下	4PSK	$-57 \pm 3$ dBm	—51dBm
		注3	

- 注1 受信入力は、標準受信入力の範囲内に設定することとする。 ただし、フェージングの激しい区間又は<u>無線LANを含む</u>干渉の 激しい区間においては、最大受信入力まで設定を行うことを可 能とする。
- 注2 1区間において対向するいずれかの局が2.0mφ以下の空中線を使用する場合とする。
- 注3 SD採用時の最小受信入力は-63dBmとする。

### 「(ク) 略]

- (ケ) 送信空中線の等価等方輻射電力
- A 正対方向以外の方向への等価等方輻射電力 正対方向以外の方向(正対方向からの放射角度(θ)が 5°以上の方向をいう。)への等価等方輻射電力(1キャリ ア当たり)の上限値は、次表のとおりとする。

正対方向からの放射角度 (θ)	等価等方輻射電力の制限値	
	_(dBm) 注	
<u>θ =5°</u>	<u>48</u>	
<u>θ =20°</u>	<u>36</u>	
<u>θ =70°</u>	<u>23</u>	
$92.5^{\circ} \leq \theta$	8	

注 放射角度の断区間におけるEIRPは断区間両端EIRPの線形とする。

### 「(ク) 同左]

- (ケ) 送信空中線の等価等方輻射電力
- A 正対方向以外の方向への等価等方輻射電力 正対方向以外の方向(正対方向からの放射角度(θ)が<u>4°</u> 以上の方向をいう。)への等価等方輻射電力の上限値は、次 表のとおりとする。

占有周波数帯幅 の許容値	標準的な 変調方式	正対方向から の放射角度 (θ)	等価等方輻射電 力の上限値(1 キャリア当た
			り) (dBm)
18.5MHz以下	256QAM	$4^{\circ} \leq \theta < 40^{\circ}$	$72-40\log\theta$
		$40^{\circ} \leq \theta$	8
36.5MHz以下	64QAM	$4^{\circ} \leq \theta < 40^{\circ}$	$72-40\log\theta$
		$40^{\circ} \leq \theta$	8
9.5MHz以下	256QAM	$4^{\circ} \leq \theta < 40^{\circ}$	$69-40\log\theta$
		$40^{\circ} \leq \theta$	5

[B 略]

オ 伝送の質

(ア) 回線瞬断率規格

回線瞬断率(符号誤り率が10<sup>-4</sup>を超える時間率をいう。) は、次表に示す値を満足するものであること。

占有周波数帯幅の許 容値	標準的な変調方式	回線瞬断率規格
53.5MHz以下	2048QAM	いかなる月においても
36.5MHz以下		0.054%/2500km以下
18.5MHz以下		
53.5MHz以下	1024QAM	
36.5MHz以下		
18.5MHz以下		
<u>53.5MHz以下</u>	<u>512QAM</u>	
36.5MHz以下		
18.5MHz以下		
18.5MHz以下	256QAM	
9.5MHz以下		

18.5MHz以下	64QAM	$4^{\circ} \leq \theta < 40^{\circ}$	$69-40\log\theta$
		$40^{\circ} \leq \theta$	5
53.5MHz以下	16QAM	$4^{\circ} \leq \theta < 40^{\circ}$	$66-40\log\theta$
		$40^{\circ} \leq \theta$	2
18.5MHz以下		$4^{\circ} \leq \theta < 40^{\circ}$	$66-40\log\theta$
		$40^{\circ} \leq \theta$	2
5.0MHz以下	4PSK	$4^{\circ} \leq \theta < 40^{\circ}$	$69-40\log\theta$
		$40^{\circ} \leq \theta$	5

[B 同左]

オ 伝送の質

(ア) 回線瞬断率規格

回線瞬断率(符号誤り率が10<sup>-4</sup>を超える時間率をいう。) は、次表に示す値を満足するものであること。

占有周波数帯幅の許 容値	標準的な変調方式	回線瞬断率規格
18.5MHz以下	256QAM	いかなる月においても
9.5MHz以下		0.054%/2500km以下
36.5MHz以下	64QAM	
18.5MHz以下		
53.5MHz以下	16QAM	
18.5MHz以下		
5.0MHz以下	4PSK	いかなる月においても
		0.00004%/km以下

36.5MHz以下	64QAM	
18.5MHz以下		
53.5MHz以下	16QAM	
18.5MHz以下		
5. OMHz以下		いかなる月においても
		0.00004%/km以下

### (イ) 瞬断率規格の判定条件

瞬断率規格の判定は、次表のA式又はB式を満足するか否かにより行うこと。ただし、B式については、マージンがないので、干渉に弱い回線の新設を避けるための回線品質改善の方法がない場合を除き、原則として既設回線についてのみ適用する。

占有周波数	標準的な	条件	規格
帯幅の	変調方式		
許容値			
<u>53.5MHz以下</u>	2048QAM	A 1 区間規格	$P_{io} = 5.4 \times 10^{-4} \times d$
36.5MHz以下		$P_{i} \leq P_{io}$	/2500
18.5MHz以下			
<u>53.5MHz以下</u>	1024QAM		
36.5MHz以下			
18.5MHz以下			
53.5MHz以下	512QAM		
36.5MHz以下			
18.5MHz以下			
18.5MHz以下	256QAM		
9.5MHz以下			
36.5MHz以下	64QAM		

### (イ) 瞬断率規格の判定条件

瞬断率規格の判定は、次表のA式又はB式を満足するか否かにより行うこと。ただし、B式については、マージンがないので、干渉に弱い回線の新設を避けるための回線品質改善の方法がない場合を除き、原則として既設回線についてのみ適用する。

占有周波数 帯幅の 許容値	標準的な 変調方式	条件      規格
18.5MHz以下 9.5MHz以下	256QAM	A 1 区間規格 P <sub>io</sub> =5.4×10 <sup>-4</sup> ×d P <sub>i</sub> ≤P <sub>io</sub> /2500
36.5MHz以下 18.5MHz以下	64QAM	
53.5MHz以下 18.5MHz以下	16QAM	
18.5MHz以下 9.5MHz以下	256QAM	B 切替区間規格 $P_{ioj} = 5.4 \times 10^{-4} \times P_{M} = \sum_{j=1}^{n} P_{ij} \le \sum_{j=1}^{n} P_{ioj}$ $d_j / 2500$
36.5MHz以下 18.5MHz以下	64QAM	j=1 · · · j=1 · · ·
53.5MHz以下 18.5MHz以下	16QAM	

18.5MHz以下				
53.5MHz以下	16QAM			
18.5MHz以下				
<u>53.5MHz以下</u>	2048QAM	В	切替区間規格	$P_{ioj} = 5.4 \times 10^{-4} \times$
36.5MHz以下			$P_{M} = \sum_{i=1}^{n} P_{ij} \leq \sum_{i=1}^{n} P_{ioj}$	$d_{\rm j}/2500$
18.5MHz以下			j=1 j=1	
53.5MHz以下	1024QAM			
36.5MHz以下				
18.5MHz以下				
53.5MHz以下	<u>512QAM</u>			
36.5MHz以下				
18.5MHz以下				
18.5MHz以下	256QAM			
9.5MHz以下				
36.5MHz以下	64QAM			
18.5MHz以下				
53.5MHz以下	16QAM			
18.5MHz以下				
5.0MHz以下	4PSK	A	1 区間規格	$P_{io} = 4 \times 10^{-7} \times d$
			$P_i \leq P_{io}$	
		В	切替区間規格	$P_{ioj} = 4 \times 10^{-7} \times d_j$
			$P_{M} = \sum_{j=1}^{n} P_{ij} \leq \sum_{j=1}^{n} P_{i \circ j}$	
	D . 1 区間似	املات		

P<sub>i</sub>、P<sub>ij</sub>: 1 区間断時間率及び切替区間中の第j番目の対向 区間断時間率

P<sub>io</sub>、P<sub>ioj</sub>: 1区間許容断時間率及び切替区間中の第j番目の 対向区間許容断時間率

d、d<sub>j</sub>:1区間距離及び切替区間中の第j番目の対向区間 距離(km)

5.0MHz以下	4PSK	A	1区間規格 P <sub>i</sub> ≦P <sub>io</sub>	$P_{io}=4\times10^{-7}\times d$
			切替区間規格 P <sub>M</sub> = ∑P <sub>i,j</sub> ≤ ∑P <sub>i,o,j</sub>	$P_{\rm ioj} = 4 \times 10^{-7} \times d_{\rm j}$

P<sub>i</sub>、P<sub>ij</sub>: 1区間断時間率及び切替区間中の第j番目の対向区 間断時間率

P<sub>io</sub>、P<sub>ioj</sub>: 1区間許容断時間率及び切替区間中の第j番目の 対向区間許容断時間率

d、d<sub>j</sub>:1区間距離及び切替区間中の第j番目の対向区間 距離 (km)

P<sub>M</sub>: 1 切替区間断時間率

n:1切替区間の対向区間数

非再生中継を行う区間については、連続する全ての 区間をもって1の対向区間とする。 P<sub>M</sub>: 1 切替区間断時間率

n: 1 切替区間の対向区間数

非再生中継を行う区間については、連続する全ての 区間をもって1の対向区間とする。

### (ウ) 区間断時間率 P<sub>i</sub> (P<sub>ii</sub>) の算出方法

区間断時間率 $P_i$ は、次式により算出するものとする。この場合において、計算結果は有効数字3けた目を切り上げることとする。

(単一受信) 
$$P_i = P_R \cdot (P_d + P_N) \cdot K_{FD}$$

(SD受信) 
$$P_i = P_R \cdot (\sqrt{P_d} + \sqrt{P_n})^2 \cdot K_{FD} \cdot K_{3SD}$$

 $P_R: \nu-\nu-\gamma$ ェージング発生確率。別紙 (7) -3 により 求める。

 $P_d: フェージング時の波形歪による断時間率。別紙(7)<math>-4$ により求める。

P<sub>N</sub>:フェージング時の熱雑音及び干渉雑音による断時間率。

K<sub>FD</sub>: キャリア切替効果による断時間率改善係数。別紙 (7) — 4により求める。

K<sub>3SD</sub>: 3面SDによる改善係数。別紙(7)-4により求める。 (単一受信時)

$$P_{\rm N} = \frac{\alpha_{\rm MAIN}(P_{\rm R} - P_{\rm a}) + \beta_{\rm a} P_{\rm a}}{P_{\rm R}} \cdot 10^{-\rm Fdm 10}$$

(SD受信時)

$$P_{N} = \frac{\alpha_{SO}(P_{R} - P_{a}) + \beta_{a}^{2}P_{a}}{P_{R}(1 - p)} \cdot 10^{-Fdm/5}$$

 $\alpha_{MAIN}$ : 単一アンテナ受信時の長周期変動による増加係数。別紙 (7) — 5 により求める。

 $P_a$ :減衰性フェージング発生確率。別紙 (7) — 3 により求める。

(ウ) 区間断時間率 P<sub>i</sub> (P<sub>ii</sub>) の算出方法

区間断時間率P<sub>i</sub>は、次式により算出するものとする。この場合において、計算結果は有効数字3けた目を切り上げることとする。

(単一受信) 
$$P_i = P_R \cdot (P_d + P_N) \cdot K_{FD}$$

(SD受信) 
$$P_i = P_R \cdot (\sqrt{P_d} + \sqrt{P_n})^2 \cdot K_{FD} \cdot K_{3SD}$$

 $P_R: \nu - \nu - \nu - \nu - \nu \sim \nu$  が発生確率。別紙 (7) -3 により求める。

 $P_d: フェージング時の波形歪による断時間率。別紙(7) <math>-4$  により求める。

P<sub>N</sub>:フェージング時の熱雑音及び干渉雑音による断時間率。

K<sub>FD</sub>: キャリア切替効果による断時間率改善係数。別紙 (7) — 4により求める。

 $K_{3SD}$ : 3面SDによる改善係数。別紙 (7) -4により求める。 (単一受信時)

$$P_{\rm N} = \frac{\alpha_{\rm MAIN}(P_{\rm R} - P_{\rm a}) + \beta_{\rm a} P_{\rm a}}{P_{\rm R}} \cdot 10^{-\rm Fdm 10}$$

(SD受信時)

$$P_{N} = \frac{\alpha_{SD}(P_{R} - P_{a}) + \beta_{a}^{2}P_{a}}{P_{R}(1 - p)} \cdot 10^{-Fdm/5}$$

 $\alpha_{\text{MAIN}}$ : 単一アンテナ受信時の長周期変動による増加係数。別紙 (7) —5により求める。

 $P_a$ :減衰性フェージング発生確率。別紙 (7) — 3 により求める。

 $\beta_a$ : 減衰性フェージング発生時の中央値低下。別紙 (7) — 5 により求める。

F<sub>dm</sub>: 広帯域の受信電力限界フェージングマージン (dB)

 $F_{dm} = F_d + \eta$ 

F<sub>d</sub>: 狭帯域の受信電力限界フェージングマージン(dB)

$$\begin{aligned} F_{\rm d} &= -10\log \left(10^{\frac{-{\rm C/N_{sh}}}{10}} + 10^{\frac{-{\rm C/N_{s}}}{10}} + 10^{\frac{-{\rm C/N_{id}}}{10}}\right) \\ &- \left\{-10\log \left(10^{\frac{-{\rm C/N_{s}}}{10}} - 10^{\frac{-{\rm C/N_{sonst}}}{10}} - 10^{\frac{-{\rm C/N_{ig}}}{10}}\right)\right\} + A \end{aligned}$$

C/N<sub>th</sub>: 熱雑音によるC/N (dB)

 $C/N_{th}=P_r-P_{rni}$ 

Pr: 平常時受信入力 (dBm)

Prni:受信機の熱雑音電力 (dBm)

 $C/N_x$ : 交差偏波間干渉雑音によるC/N (dB)

C/N<sub>id</sub>: 異経路干渉雑音によるC/N (dB)。

別紙 (7) -8により求める。

C/N<sub>o</sub>: 符号誤り率=10<sup>-4</sup>点における所要C/N (dB)

受信感度-10log(ボルツマン定数×温度×等価雑音帯域幅)-

雑音指数

C/N<sub>const</sub>: 定常雑音によるC/N (dB)

C/N<sub>is</sub>:同経路干渉雑音によるC/N (dB)。

別紙 (7) -8により求める。

A:SD受信時改善量(dB)。A=1

η:広帯域受信電力フェード量減少係数。

別紙 (7) - 7により求める。

α<sub>SD</sub>: SDアンテナ受信時の長周期変動による増加係数。

 $\beta_a$ :減衰性フェージング発生時の中央値低下。別紙 (7) — 5 により求める。

F<sub>m</sub>: 広帯域の受信電力限界フェージングマージン(dB)

 $F_{dm} = F_d + \eta$ 

F<sub>a</sub>: 狭帯域の受信電力限界フェージングマージン(dB)

$$\begin{split} F_{\text{d}} &= -10\log \Biggl(10^{\frac{-c/N_{\text{sh}}}{10}} + 10^{\frac{-c/N_{\text{s}}}{10}} + 10^{\frac{-c/N_{\text{s}}}{10}} \Biggr) \\ &- \left\{ -10\log \Biggl(10^{\frac{-c/N_{\text{s}}}{10}} - 10^{\frac{-c/N_{\text{sonst}}}{10}} - 10^{\frac{-c/N_{\text{is}}}{10}} \Biggr) \right\} + \text{A} \end{split}$$

C/Nth: 熱雑音によるC/N (dB)

 $C/N_{th}=P_r-P_{rni}$ 

Pr: 平常時受信入力 (dBm)

Prni: 受信機の熱雑音電力 (dBm)

C/N<sub>x</sub>:交差偏波間干渉雑音によるC/N (dB)

C/N<sub>id</sub>: 異経路干渉雑音によるC/N (dB)。

別紙 (7) -8により求める。

 $C/N_o$ : 符号誤り率= $10^{-4}$ 点における所要C/N (dB)

256QAM: 33. 4

64QAM : 26. O

16QAM: 21. O (156M方式)

16QAM: 21. 5 (52M方式)

4 PSK: 14.8

C/N<sub>const</sub>:定常雑音によるC/N (dB)

C/N<sub>is</sub>:同経路干渉雑音によるC/N (dB)。

別紙 (7) -8により求める。

A:SD受信時改善量(dB)。A=1

η:広帯域受信電力フェード量減少係数。

別紙 (7) - 7により求める。

α<sub>SD</sub>: SDアンテナ受信時の長周期変動による増加係数。

別紙 (7) -5 により求める。

 $\rho$ : SDアンテナ空間相関係数。別紙(7)-6により求める。また、非再生中継方式区間断時間率は、非再生中継区間数をNホップとする場合、各非再生中継区間ごとにフェージングマージンを求め、上述の式を用い断時間率を算出し、その総和を非再生中継方式区間の総断時間率として求めること。

$$\begin{split} F_{d1} &= -10\log\left[10^{-\frac{(c/N_{th})_1}{10}} + 10^{-\frac{(c/N_{t})_1}{10}} + 10^{-\frac{(c/N_{td})_1}{10}}\right] \\ &+ 10\log\left\{\left[10^{-\frac{c/N_{to}}{10}} - 10^{-\frac{(c/N_{tenst})_1}{10}} - 10^{-\frac{(c/N_{ts})_1}{10}}\right] \right. \\ &- \sum_{k=1,\ k\neq 1}^{M} \left[10^{-\frac{(c/N_{th})_k}{10}} + 10^{-\frac{(c/N_{th})_k}{10}} + 10^{-\frac{(c/N_{td})_k}{10}} \right. \\ &+ 10^{-\frac{(c/N_{tonst})_k}{10}} + 10^{-\frac{(c/N_{ts})_k}{10}}\right] \right\} + A \end{split}$$

Fdl: 非再生中継方式の1番目のホップのフェージングマージン

#### カ混信

# (ア) 被干渉の許容値

A 既設回線からの異経路干渉による搬送波電力対雑音電力比 (C/I) は、平常時においてできる限り次表を満足すること。 なお、異なる周波数帯を使用するレーダーからの帯域外不要輻 射による干渉雑音を含むものとする。

	/ - /	
占有周波数帯幅の 許容値	標準的な変調方式	被干渉の許容値 (C/I)
53.5MHz以下	2048QAM	<u>66dB以上</u>
36.5MHz以下		
<u>18.5MHz以下</u>		
<u>53.5MHz以下</u>	<u>1024QAM</u>	<u>63dB以上</u>
36.5MHz以下		
18.5MHz以下		

別紙 (7) -5 により求める。

ρ: SDアンテナ空間相関係数。別紙(7) —6により求める。 また、非再生中継方式区間断時間率は、非再生中継区間数をNホップとする場合、各非再生中継区間ごとにフェージングマージンを求め、上述の式を用い断時間率を算出し、その総和を非再生中継方式区間の総断時間率として求めること。

$$\begin{split} F_{d1} &= -10\log \left[ 10^{-\frac{(c/N_{th})_1}{10}} + 10^{-\frac{(c/N_{t})_1}{10}} + 10^{-\frac{(c/N_{td})_1}{10}} \right] \\ &+ 10\log \left\{ \left[ 10^{-\frac{c/N_{to}}{10}} - 10^{-\frac{(c/N_{tonst})_1}{10}} - 10^{-\frac{(c/N_{ts})_1}{10}} \right] \right. \\ &- \sum_{k=1, k\neq 1}^{M} \left[ 10^{-\frac{(c/N_{th})_k}{10}} + 10^{-\frac{(c/N_{ts})_k}{10}} + 10^{-\frac{(c/N_{td})_k}{10}} \right. \\ &+ 10^{-\frac{(c/N_{tonst})_k}{10}} + 10^{-\frac{(c/N_{ts})_k}{10}} \right] \right\} + \Lambda \end{split}$$

Fdl: 非再生中継方式の1番目のホップのフェージングマージン

### カ 混信

### (ア) 被干渉の許容値

A 既設回線からの異経路干渉による搬送波電力対雑音電力比 (C/I) は、平常時においてできる限り次表を満足すること。 なお、異なる周波数帯を使用するレーダーからの帯域外不要輻 射による干渉雑音を含むものとする。

占有周波数帯幅の	標準的な変調方式	被干渉の許容値
許容値		(C∕I)
18.5MHz以下	256QAM	57dB以上
9.5MHz以下		
36.5MHz以下	64QAM	51dB以上
18.5MHz以下		
53.5MHz以下	16QAM	50dB以上
18.5MHz以下		45dB以上

53.5MHz以下	512QAM	<u>60dB以上</u>
36.5MHz以下		
18.5MHz以下		
18.5MHz以下	256QAM	57dB以上
9.5MHz以下		
36.5MHz以下	64QAM	51dB以上
18.5MHz以下		
53.5MHz以下	16QAM	50dB以上
18.5MHz以下		45dB以上
5.0MHz以下	4PSK	38dB以上

[B 略]

[(イ) 略]

[A~B 略]

(A) 与干渉の許容値

被干渉側		干渉波一波当たり	全干渉波に対する
占有周波数带幅	標準的な	の許容C/I値	総合許容C/I値
の許容値	変調方式		
<u>53.5MHz以下</u>	2048QAM	<u>71dB</u>	<u>66dB</u>
36.5MHz以下			
18.5MHz以下			
<u>53.5MHz以下</u>	1024QAM	<u>68dB</u>	<u>63dB</u>
36.5MHz以下			
18.5MHz以下			
<u>53.5MHz以下</u>	512QAM	<u>65dB</u>	<u>60dB</u>
36.5MHz以下			
18.5MHz以下			
18.5MHz以下	256QAM	62dB	57dB

5. OMHz以下 4PSK 38dB以上

[B 同左]

[(イ) 同左]

[A~B 同左]

(A) 与干渉の許容値

被干渉側		干渉波一波当たり	全干渉波に対する
占有周波数帯幅標準的な		の許容C/I値	総合許容C/I値
の許容値	変調方式		
18.5MHz以下	256QAM	62dB	57dB
9.5MHz以下			
36.5MHz以下	64QAM	56dB	51dB
18.5MHz以下			
53.5MHz以下	16QAM	55dB	50dB
18.5MHz以下		50dB	45dB
5.0MHz以下	4PSK	43dB	38dB

注 C/I値の算出に際しての希望搬送波電力と干渉雑音電力の同一 周波数帯域幅への換算は、別紙 (7) —10の2に示す干渉軽減係 数IRFにて見込むこととする。

9.5MHz以下			
36.5MHz以下	64QAM	56dB	51dB
18.5MHz以下			
53.5MHz以下	16QAM	55dB	50dB
18.5MHz以下		50dB	45dB
5.0MHz以下	4PSK	43dB	38dB

- 注 C/I値の算出に際しての希望搬送波電力と干渉雑音電力の同一 周波数帯域幅への換算は、別紙 (7) —10の2に示す干渉軽減係 数IRFにて見込むこととする。
  - (B) 干渉計算に用いる受信空中線の標準特性
  - a 占有周波数帯幅の許容値が 18.5MHz 以下 (2048QAM、1024QAM、512QAM、256QAM、64QAM 又は 16QAM)、
  - 9.5MHz 以下(256QAM)、36.5MHz 以下(<u>2048QAM、1024QAM、</u> 512QAM、64QAM)、53.5MHz 以下(<u>2048QAM、1024QAM、</u> 512QAM、16QAM)及び5.0MHz 以下(4PSK)のもの

空中線の放射角度	受信空中線の標準特性 (6GHz 帯)	
<u>(θ)</u>	_(dBi) 注	
<u>θ =0°</u>	<u>47. 3</u>	
$\theta = 5^{\circ}$	<u>20</u>	
<u>θ =20°</u>	<u>8</u>	
<u>θ =70°</u>	<u>-5</u>	
$92.5^{\circ} \leq \theta$	<u>-20</u>	

注 放射角度の断区間における標準特性は、0°と5°の間は 47.3 - 1.092 θ²、それ以外は断区間両端標準特性の線形とする。

別紙 (7) 一1 周波数割当方針

### (B) 干渉計算に用いる受信空中線の標準特性

a 占有周波数帯幅の許容値が18.5MHz以下 (256QAM、64QAM又は16QAM)、9.5MHz以下(256QAM)、 36.5MHz以下(64QAM)及び53.5MHz以下(16QAM)のもの

空中線の放射角度 (θ)	受信空中線の標準特性
$0^{\circ} \leq \theta < 4^{\circ}$	47.3 $-1.706 \theta^2$ (dBi)
$4^{\circ} \leq \theta < 40^{\circ}$	$44-40\log\theta$ (dBi)
$40^{\circ} \leq \theta$	-20 (dBi)

b 占有周波数帯幅の許容値が 5.0MHz 以下 (4PSK) のもの

空中線の放射角度 (θ)	受信空中線の標準特性	
$0^{\circ} \leq \theta < 4^{\circ}$	47.3 $-1.519 \theta^2$ (dBi)	
$4^{\circ} \leq \theta < 40^{\circ}$	$47-40\log\theta$ (dBi)	
$40^{\circ} \leq \theta$	-17 (dBi)	

別紙(7)一1 周波数割当方針

#### $\lceil 1 \sim 4$ 略]

- 5 周波数の配列、組合せ及び使用順位
  - (1) 占有周波数帯幅が18.5MHzのもの(標準的な変調方式が2048QAM、1024QAM、512QAM、256QAM 又は16QAMの場合)

 $\lceil (2) \sim (6)$  略]

[別紙 (7) -2  $\sim$  別紙 (7) -6 略]

別紙 (7) -7 広帯域受信電力フェード量減少係数  $\eta$  の算出方法  $\eta = A_0$   $(v) + A_1$   $(v) \cdot logPs + A_2$   $(v) \cdot (logPs)^2$ 

 $A_0$  ( $\nu$ ) = -48.17+160.48  $\nu$  -185.5  $\nu$  <sup>2</sup>+88.1  $\nu$  <sup>3</sup>-14.92  $\nu$  <sup>4</sup>

 $A_1$  ( $\nu$ ) = -53. 22+166. 8  $\nu$  -186. 54  $\nu$  <sup>2</sup>+87. 85  $\nu$  <sup>3</sup>-14. 92  $\nu$  <sup>4</sup>

 $A_2$  ( $\nu$ ) = -17.95+49.06 $\nu$  -49.84 $\nu$  <sup>2</sup>+22.45 $\nu$  <sup>3</sup>-3.73 $\nu$  <sup>4</sup>

 $\nu = (2.1+0.62\log (1-\rho \Delta f/3) +0.086 \{\log (1-\rho \Delta f/3)\}^2) / (\rho \Delta f/3)$ 

 $\rho$   $\Delta$  f  $\neq$  3: 通常フェージング時の〔クロック周波数 (MHz)  $\neq$  3〕 離れの周波数相関係数

 $P_s$ : (単一受信時)  $P_s = \rho_0$ 

: (SD受信時)  $P_s = \sqrt{(1-\rho) \cdot \rho_0 / \alpha_{SD}}$ 

 $\alpha_{SD}$ : レーレーフェージングの長周期変動による増加係数。 別紙 (7) — 5 参照

ρ:SDアンテナ空間相関係数。別紙(7)-6参照

 $\rho$   $_{0}$  :

_				
ı	占有周波数带	標準的な変調方式	ho 0	
	幅の占有値			
	53.5MHz以下	2048QAM	$(5.4 \times 10^{-4} / 2500)$	• d/P <sub>R</sub>
	36.5MHz以下			
	18.5MHz以下			

### 「1~4 同左]

- 5 周波数の配列、組合せ及び使用順位
  - (1) 占有周波数帯幅が18.5MHzのもの(標準的な変調方式が 256QAM又は16QAMの場合)

「(2)~(6) 同左]

「別紙 $(7) - 2 \sim 別紙(7) - 6$  同左

別紙 (7) — 7 広帯域受信電力フェード量減少係数  $\eta$  の算出方法  $\eta = A_0$   $(v) + A_1$   $(v) \cdot \log Ps + A_2$   $(v) \cdot (\log Ps)^2$ 

 $A_0$  ( $\nu$ ) = -48.17+160.48  $\nu$  -185.5  $\nu$  <sup>2</sup>+88.1  $\nu$  <sup>3</sup>-14.92  $\nu$  <sup>4</sup>

 $A_1$  ( $\nu$ ) = -53. 22+166. 8  $\nu$  -186. 54  $\nu$  <sup>2</sup>+87. 85  $\nu$  <sup>3</sup>-14. 92  $\nu$  <sup>4</sup>

 $A_2$  ( $\nu$ ) = -17.95+49.06  $\nu$  -49.84  $\nu$  <sup>2</sup>+22.45  $\nu$  <sup>3</sup>-3.73  $\nu$  <sup>4</sup>

 $\nu = (2.1 + 0.62 \log (1 - \rho \Delta f/3) + 0.086 \{ \log (1 - \rho \Delta f/3) \}^{2} / (\rho \Delta f/3)$ 

 $\rho$   $\Delta$  f / 3:通常フェージング時の〔クロック周波数(MHz) / 3〕 離れの周波数相関係数

 $P_s$ : (単一受信時)  $P_s = \rho_0$ 

: (SD受信時)  $P_s = \sqrt{(1-\rho) \cdot \rho_0 / \alpha_{SD}}$ 

 $\alpha_{SD}$ : レーレーフェージングの長周期変動による増加係数。 別紙 (7) — 5 参照

 $\rho$ : SDアンテナ空間相関係数。別紙 (7) -6 参照

 $\rho$   $_{0}$  :

占有周波数带	標準的な変調方式	ρο
幅の占有値		
18.5MHz以下	256QAM	$(5.4 \times 10^{-4} / 2500) \cdot d/P_R$
9.5MHz以下		
36.5MHz以下	64QAM	

•		-
<u>53.5MHz以下</u>	<u>1024QAM</u>	
36.5MHz以下		
18.5MHz以下		
<u>53.5MHz以下</u>	<u>512QAM</u>	
36.5MHz以下		
18.5MHz以下		
18.5MHz以下	256QAM	
9.5MHz以下		
36.5MHz以下	64QAM	
18.5MHz以下		
53.5MHz以下	16QAM	
18.5MHz以下		
5.0MHz以下	4PSK	$(4 \times 10^{-7}) \cdot d/P_R$

別紙 (7) -8  $\underline{C/N_{id}}$ 、 $C/N_{is}$  の算出方法

 $1 \quad \underline{C/N_{id}}$ 

$$\frac{C/N_{id} = \min \left[ -10 \log \left\{ \sum_{j=1}^{m} 10^{-\frac{C/N_{idj}}{10}} + 10^{-\frac{C/N_{id(\gamma)}}{10}} + 10^{-\frac{C/N_{WLAN}}{10}} \right\}, C/N_{id0} - M \right]}$$

min (x, y):x又はyの小さいほうを採用する。

m:異なる伝搬路となる干渉波の数

 $C/N_{WLAN}$ :無線LANの干渉波レベルが $N_{WLAN}$ (下表より、設置環境が郊外部か都市部かに応じて選択する)であるときのWLAN干渉雑音によるC/N(dB)

18.5MHz以下		
53.5MHz以下	16QAM	
18.5MHz以下		
5.0MHz以下	4PSK	$(4\times10^{-7})$ · d/ $P_R$

別紙 (7) — 8 C/ $N_{id}$ 、C/ $N_{is}$ の算出方法 1 C/ $N_{id}$  =  $min \left[ -10log \left\{ \sum_{j=1}^{m} l0^{-\frac{c/N_{idj}}{10}} + 10^{-\frac{c/N_{idj}(\gamma)}{10}} \right\}, C/N_{ido} - M \right]$ 

min(x, y):x又はyの小さいほうを採用する。 m:異なる伝搬路となる干渉波の数

<u>設置環境</u>	<u>N<sub>WLAN</sub></u>
郊外部	<u>-107.2 dBm</u>
都市部	<u>-97.3 dBm</u>

 $C/N_{idj}$ : 第j番目の異経路干渉雑音によるC/N (dB)  $C/N_{idj} = -101og \left\{ 10^{\frac{(0/V_{idj}+IRF_j)}{10}} + 10^{\frac{(0/V_{bdj}+IRF_j)}{10}} \right\}$ 

D/U<sub>1dj</sub>:第j番目の同偏波異経路干渉雑音によるD/U (dB)

IRF<sub>j</sub>: 第j番目の干渉波に対する干渉軽減係数(dB) D/U<sub>2di</sub>: 第j番目の異偏波異経路干渉雑音によるD/U

(dB)。ただし、干渉区間がコチャネル以外の方式で、

希望波がコチャネル方式の場合は見込まない。

 $C/N_{id}$  ( $\gamma$ ) : レーダー波干渉雑音によるC/N (dB)

 $C/N_{id}$  ( $\gamma$ ) =D/U ( $\gamma$ ) + $L_{df}+L_{filt}$  ( $\gamma$ )

D/U (γ): レーダー干渉波干渉によるD/U (dB)

L<sub>df</sub>: レーダーと本方式との周波数差によるレーダー波スペクトルの減衰量(dB)

L<sub>filt</sub> (γ): レーダーの送信フィルタによる減衰量(dB)

C/N<sub>ido</sub>:全干渉波に対する総合許容C/I値(dB)

下表により求める。

1 201 > 111 > 0		
占有周波数帯幅の 占有値	標準的な変調方式	$C/N_{ido}$
<u>53.5MHz以下</u>	<u>2048QAM</u>	<u>66dB</u>
36.5MHz以下		
18.5MHz以下		
53.5MHz以下	<u>1024QAM</u>	<u>63dB</u>
36.5MHz以下		

 $C/N_{idj}$ : 第j番目の異経路干渉雑音によるC/N (dB)  $C/N_{idj} = -10\log\left\{10^{\frac{(O/V_{idj}+IRF_j)}{10}} + 10^{\frac{(O/V_{idj}+IRF_j)}{10}}\right\}$ 

D/U<sub>1 dj</sub>: 第j番目の同偏波異経路干渉雑音によるD/U (dB)

IRF<sub>i</sub>: 第j番目の干渉波に対する干渉軽減係数(dB)

D/U2di:第j番目の異偏波異経路干渉雑音によるD/U

(dB)。ただし、干渉区間がコチャネル以外の方式で、

希望波がコチャネル方式の場合は見込まない。

 $C/N_{id}$  (γ) : レーダー波干渉雑音によるC/N (dB)

 $C/N_{id}$  ( $\gamma$ ) =D/U ( $\gamma$ ) +L<sub>df</sub>+L<sub>filt</sub> ( $\gamma$ )

D/U (γ): レーダー干渉波干渉によるD/U (dB)

L<sub>df</sub>: レーダーと本方式との周波数差によるレーダー波スペクトルの減衰量(dB)

L<sub>filt</sub> (γ): レーダーの送信フィルタによる減衰量(dB)

C/N<sub>ido</sub>:全干渉波に対する総合許容C/I値(dB)

下表により求める。

占有周波数帯幅の 占有値	標準的な変調方式	C/N <sub>ido</sub>
18.5MHz以下	256QAM	57dB
9.5MHz以下		
36.5MHz以下	64QAM	51dB
18.5MHz以下		
53.5MHz以下	16QAM	50dB

<u>18.5MHz以下</u>		
<u>53.5MHz以下</u>	<u>512QAM</u>	<u>60dB</u>
36.5MHz以下		
18.5MHz以下		
18.5MHz以下	256QAM	57dB
9.5MHz以下		
36.5MHz以下	64QAM	51dB
18.5MHz以下		
53.5MHz以下	16QAM	50dB
18.5MHz以下		45dB
5.0MHz以下	4PSK	38dB

M:標準空中線特性に対する実際の受信空中線特性の劣化の最悪値。ただし、全方位において、実際の受信空中線特性が標準特性を上回っている場合は0とする。

[2~3 略]

[別紙 (7) —9 略]

別紙 (7) —10 IRF

# 1 被干渉 (dB)

	干渉波	FD!	M—FMブ	方式	単一	4マルチ					6GHz帯				
希望波					キャ	キャリア									
占有周 波数帯 幅の許 容値			2700 ch	3600 ch 5400 ch	リア (6G Hz帯 16QAM	(6GHz帯 16QAM)	256 QAM (18. 5MHz	QAM (9.5	QAM (36.	QAM (18.	QAM (53.	QAM (18.	QAM 1024	1024	512 QAM 1024 QAM
47世					)		)	miz)	)	)	)	)	2048 QAM (53.	2048 QAM (36.	2048 QAM (18.

18.5MHz以下		45dB
5.0MHz以下	4PSK	38dB

M:標準空中線特性に対する実際の受信空中線特性の劣化の最悪値。ただし、全方位において、実際の受信空中線特性が標準特性を上回っている場合は0とする。

[2~3 同左]

[別紙(7)-9 同左]

別紙 (7) —10 IRF

### 1 被干渉 (dB)

	干渉波	FDM	I—FM夫	7式	単一	4マルチ			6GH	z帯		
希望波						キャリ						
占有周	標準的	960ch	2700c	3600c			256	256	64QAM	64QAM	16QAM	16QAM
波数帯	な変調	1800c		h	(6GH	,	QAM	QAM	(36.	(18.	(53.	(18.
幅の許	方式	h		5400с	Z带 1COM	帯 160000	(18.		5MHz	5MHz	5MHz	5MHz
容値				h	16QAM	16QAM)	5MHz	MHz)	)	)	)	)
					)		)					
18.5MHz	256QAM	1.6	1.7	3. 2	5.0	0	0	-2.9	3.6		-4.0	0
9.5MHz		1.5	1.6	5.6	7.9	4. 2	4.3	0	4.8		-6.6	4.3

													<u>)                                    </u>	<u>)                                    </u>	<u>)                                    </u>
53. 5MHz	2048QAM	<u>0</u>	<u>0</u>		-0.9	3.7	3. 5	6. 5			<u>0</u>	3.5	<u>0</u>		3. 5
36. MHz	1024QAM 512QAM	0	<u>0</u>		3. 7	<u>-2.7</u>	-2.6	-4.9	<u>0</u>	-2.9	1.6	-2.6	1.6	0	-2.6
18.5MHz		1.6	1.7	3.2	<u>5. 0</u>	<u>0</u>	<u>0</u>	<u>-2.9</u>	3.6		-4.0	0	<u>-4.0</u>	3.6	<u>0</u>
18.5MHz	256QAM	1.6	1. 7	3. 2	5. 0	0	0	-2.9	3. 6		-4.0	0	<u>-4.0</u>	3.6	0
9.5MHz		1. 5	1.6	5. 6	7. 9	4. 2	4. 3	0	4. 8		-6.6	4. 3	-6.6	4.8	4.3
36.5MHz	64QAM	0	0		3. 7	-2.7	-2.6	-4.9	0	-2.9	1.6	-2.6	1.6	0	<u>-2.6</u>
18.5MHz		10.3	6. 6		-5.5	0	0	3. 6	-2.9	0	-4.1	0	<u>-4.1</u>	-2.9	<u>0</u>
53.5MHz	16QAM	0	0		-0.9	3. 7	3. 5	6. 5			0	3. 5	0		3.5
18.5MHz		1.6	1. 7	3. 2	5. 0	0	0	-2.9	-4.0	0				<u>-4.0</u>	<u>0</u>
5. OMHz	4PSK	105. 5	64. 3	55.8	16. 7		61. 1	58. 1	69. 2	65. 3	0	61. 1	<u>0</u>	<u>69. 2</u>	<u>61. 1</u>

36	5.5MHz	64QAM	0	0		3.7	-2.7	-2.6	-4.9	0	-2.9	1.6	-2.6
18	B.5MHz		10.3	6.6		-5.5	0	0	3.6	-2.9	0	-4.1	0
53	B.5MHz	16QAM	0	0		-0.9	3.7	3.5	6.5			0	3.5
18	3.5MHz		1.6	1.7	3. 2	5.0	0	0	-2.9	-4.0	0		
5.	.OMHz	4PSK	105. 5	64. 3	55.8	16.7		61.1	58. 1	69.2	65.3	0	61.1

# 2 与干渉 (dB)

希望波	FDM—FM方	i式	l '	4マルチ キャリア					6GHz帯				
占有周波 標準的な 数帯幅の 変調方式 許容値	1800c ch h	3600 ch 5400 ch	(6GH	(6GHz帯 16QAM)	QAM (18.	QAM	(36.	(18.	(53.	5MHz	QAM 1024 QAM 2048 QAM (53.	QAM 1024Q AM 2048Q AM (36.	512 QAM 1024 QAM 2048 QAM (18.

# 2 与干渉 (dB)

-													
		希望波	FDM	I—FM夫	式	単一	4マルチ			6GH	z帯		
	干渉波					キャ	キャリ						
	占有周	標準的	960ch	2700c	3600c			256	256	64QAM	64QAM	16QAM	16QAM
	波数帯	な変調	1800c		h	(6GH	(6GHz	QAM	QAM	(36.	(18.	(53.	(18.
	幅の許	方式	h		5400c		帯、、	(18.	(9.5	5MHz	5MHz	5MHz	5MHz
	容値				h	16QAM	16QAM)	5MHz	$\mathrm{MHz})$	)	)	)	)
						)		)					
	18.5MHz	256QAM	4.7	0.9	13.2	-4.9	0	0	4.3	-2.6	0	3.5	0
	9.5MHz		1.8	-1.7	10.2	-7.8	-1.7	-2.9	0	-4.9	-2.6	6.5	-2.9
	36.5MHz	64QAM	3.0	3.5		-2.8	3. 7	3.6	4.8	0	3.6	-0.9	3.6

													)	)	)
53.5MHz	2048QAM 1024QAM	3. 7	2.8		0.8	<u>-4.0</u>	<u>-4.0</u>	<u>-6.6</u>	1.6	3.5	0	<u>-4.0</u>	0	1.6	-4.0
36.5MHz	512QAM	3.0	3.5		-2.8	3. 7	3.6	4.8	<u>0</u>	3.6	-0.9	3.6	-0.9	0	3.6
18.5MHz		4. 7	0.9	13. 2	-4.9	<u>0</u>	0	4. 3	<u>-2.6</u>	0	3. 5	<u>0</u>	3. 5	-2.6	0
18.5MHz	256QAM	4. 7	0. 9	13. 2	-4.9	0	0	4. 3	-2.6	0	3. 5	0	3.5	-2.6	0
9.5MHz		1.8	-1.7	10. 2	<b>−</b> 7.8	-1.7	-2.9	0	-4.9	-2.6	6. 5	-2.9	6. 5	-4.9	-2.
36.5MHz	64QAM	3. 0	3. 5		-2.8	3. 7	3. 6	4. 8	0	3. 6	-0.9	3. 6	-0.9	<u>0</u>	3.6
18.5MHz		10. 3	6. 6		-5.5	0	0	3. 6	-2.9	0	-4.1	0	<u>-4. 1</u>	-2.9	0
53.5MHz	16QAM	3. 7	2.8		0.8	-4.0	-4.0	-6.6	1.6	3. 5	0	-4.0	0	1.6	-4.
18.5MHz		4. 7	0. 9	13. 2	-4.9	0	0	4. 3	-2.6	0	3. 5	0	3.5	<u>-2.6</u>	<u>0</u>
5. OMHz	4PSK	62. 8	28. 0	21.8	0. 2		55. 0	55. 0	52. 0	54. 7	0	55. 0	0	52. 0	55.0

18.5MHz		10.3	6.6		-5.5	0	0	3.6	-2.9	0	<b>-4.</b> 1	0
53.5MHz	16QAM	3.7	2.8		0.8	-4.0	-4.0	-6.6	1.6	3.5	0	-4.0
$18.5\mathrm{MHz}$		4.7	0.9	13.2	-4.9	0	0	4.3	-2.6	0	3.5	0
5.0MHz	4PSK	62.8	28.0	21.8	0.2		55.0	55.0	52.0	54. 7	0	55.0

4 その他 [(1)~(3) 略]

4 その他 [(1)~(3) 同左] (4) 6.5GHz 帯又は7.5GHz 帯の周波数の電波を使用する固定局 (放送事業用固定局を除く。)

### ア 基本的事項

### [(ア) 略]

### (イ) 伝送方式

審査に当たっては、表1に示す占有周波数帯幅の許容値及び 標準的な変調方式の組合せに対応させて審査を行うこと。

表1 適用伝送方式(占有周波数帯幅の許容値及び標準的な変調方式の組合せ)

	2019	177 × (* > / 111 C /	
	周波数帯	占有周波数帯幅の	標準的な
		許容値	変調方式 注1
1	7.5GHz帯	2.5MHz	4PSK
2	6.5、7.5GHz帯	5MHz	
3		9.5MHz	
4			16QAM
5			128QAM
6		19MHz	
7		28.5MHz	
8			256QAM
9			<u>512QAM</u>
10			<u>1024QAM</u>
11)			<u>2048QAM</u>
12		36.5MHz注2	64QAM
13			<u>256QAM</u>
14			<u>512QAM</u>
15			<u>1024QAM</u>
16			<u>2048QAM</u>

(4) 6.5GHz 帯又は7.5GHz 帯の周波数の電波を使用する固定局 (放送事業用固定局を除く)

### ア 基本的事項

[(ア) 同左]

### (イ) 伝送方式

審査に当たっては、表1に示す占有周波数帯幅の許容値及び標準的な変調方式の組合せに対応させて審査を行うこと。

表1 適用伝送方式(占有周波数帯幅の許容値及び標準的な変調方式の組合せ)

	周波数帯	占有周波数帯幅の 許容値	標準的な 変調方式 <sub>注1</sub>
1	7.5GHz帯	2.5MHz	4PSK
2	6.5、7.5GHz帯	5MHz	
3		9.5MHz	
4			16QAM
(5)			128QAM
6		19MHz	
7		28.5MHz	
8		36.5MHz注2	64QAM

注1 直交周波数分割多重方式 (OFDM方式) については、 いずれかの変調方式の項目に対応すること。

注2 電気通信業務用固定局に限る。

- 注1 直交周波数分割多重方式(OFDM方式)については、 いずれかの変調方式の項目に対応すること。
- 注2 電気通信業務用固定局に限る。

### 「(ウ)~(オ)略]

「イ 略]

- ウ 無線設備の工事設計
- (ア) 送信装置

「A ∼ B 略]

C 主信号については、表2のいずれかの変調方式、これらの方式と同等以上の性能を有するもの又はこれらの方式より多値数の低いものからこれらの方式と同等以上の性能を有するものまでを切り替えるものにより伝送するものであること。

なお、変調方式の切替えを行う場合、切替えを予定している全ての変調方式を工事設計書に記載することとし、ア(イ)において審査を行う標準的な変調方式として表1のいずれかに該当するものが明記されていること。

表 2 変調方式

X 1 (2) (4) (4)
変調方式
2048値直交振幅変調方式(2048QAM)_
1024値直交振幅変調方式(1024QAM)_
512値直交振幅変調方式(512QAM)_
256値直交振幅変調方式(256QAM)_
128値直交振幅変調方式(128QAM)
64値直交振幅変調方式(64QAM)
16値直交振幅変調方式(16QAM)
4相位相変調方式(4PSK)

「(ウ)~(オ) 同左]

「イ同左〕

- ウ 無線設備の工事設計
- (ア) 送信装置

「A ~ B 同左〕

C 主信号については、表2のいずれかの変調方式、これらの方式と同等以上の性能を有するもの又はこれらの方式より多値数の低いものからこれらの方式と同等以上の性能を有するものまでを切り替えるものにより伝送するものであること。

なお、変調方式の切替えを行う場合、切替えを予定している全ての変調方式を工事設計書に記載することとし、ア(イ)において審査を行う標準的な変調方式として表1のいずれかに該当するものが明記されていること。

表 2 変調方式

変調方式
128値直交振幅変調方式(128QAM)
64値直交振幅変調方式(64QAM)
16値直交振幅変調方式(16QAM)
4相位相変調方式(4PSK)
直交周波数分割多重変調方式(OFDM方式)

# 直交周波数分割多重変調方式(OFDM方式)

[D ∼ E 略]

(イ) 受信装置

[A 略]

B 等価雑音帯域幅及び<u>受信感度</u>は、いずれも表3の値以下であること。

表3 等価雑音帯域幅及び受信感度

		· 3 II			
周波数	占有周波数	標準的	等価雑音帯	受信感度	受信感度
帯	帯幅の許容	な変調	域幅	$\_$ (BER=1 $ imes$	$_{\rm (BER=1\times}$
	値	方式		10 <sup>-4</sup> )	10 <sup>-7</sup> )
7.5GHz	2.5MHz	4PSK	2.5MHz	-91.0dBm以	-87.2dBm以下
帯				<u>下</u>	
6.5、	5MHz		5MHz	-87.0dBm以	-84.2dBm以下
7.5GHz				<u>下</u>	
帯	9.5MHz		9.5MHz	-84.2dBm以	-81.4dBm以下
				下	
		16QAM		<u>−78. 5dBm</u>	-73.7dBm以下
				<u>以下</u>	
		128QAM		-72. 0dBm	-69.5dBm以下
				<u>以下</u>	
	19MHz		19MHz	<u>-69. 0dBm</u>	-66.5dBm以下
				<u>以下</u>	
	28.5MHz		28.5MHz	<u>-67. 2dBm</u>	-64.7dBm以下
				<u>以下</u>	
		256QAM		<u>−63.7dBm</u>	-61.2dBm以下
				<u>以下</u>	
		512QAM		<u>-60. 2dBm</u>	-57.7dBm以下
				<u>以下</u>	

[D ~ E 同左]

(イ) 受信装置

[A 略]

B 等価雑音帯域幅及び雑音指数は、いずれも表3の値以下であること。

表3 等価雑音帯域幅及び雑音指数

	10	7   四十日 11   多	(神)人 () 本自 自 自 数	
周波数带	占有周波数带	標準的な	等価雑音帯域幅	雑音指数
	幅の許容値	変調方式		
7.5GHz帯	2.5MHz	4PSK	2.5MHz	4dB
6.5、	5MHz		5MHz	
7.5GHz帯	9.5MHz		9.5MHz	
		16QAM		
		128QAM		
	19MHz		19MHz	
	28.5MHz		28.5MHz	
	36.5MHz	64QAM	36.5MHz	5dB

	1024		-56.7dBm	-54.2dBm以下
	<u>QAM</u>		<u>以下</u>	
	<u>2048</u>		<u>-53. 2dBm</u>	-50.7dBm以下
	<u>QAM</u>		<u>以下</u>	
36.5MHz	64QAM	36.5MHz	<u>-67. 2dBm</u>	_
			<u>以下</u>	
	256QAM		<u>-62.7dBm</u>	_
			<u>以下</u>	
	512QAM		<u>-59. 2dBm</u>	_
			<u>以下</u>	
	1024		<u>-55.7dBm</u>	_
	<u>QAM</u>		<u>以下</u>	
	2048		<u>-52. 2dBm</u>	_
	<u>QAM</u>		<u>以下</u>	

[C~D 略]

(ウ) 空中線

[A 略]

B 送信空中線

(A) 正対方向以外の方向への等価等方輻射電力 表4に示す正対方向以外の方向(正対方向からの放射角 度(θ)が4°以上の方向をいう。)への等価等方輻射電 力(1キャリア当たり)の制限値を満足すること。

表 4 正対方向以外の方向への等価等方輻射電力の制限値

正対方向からの放射角度 (θ)	等価等方輻射電力の制限値
	(dBm) 注
$\underline{4}^{\circ} \leq \theta < \underline{20}^{\circ}$	$73-27.5\log\theta \ (72-40\log\theta)$

[C~D 同左]

(ウ) 空中線

[A 同左]

B 送信空中線

(A) 正対方向以外の方向への等価等方輻射電力 表4に示す正対方向以外の方向(正対方向からの放射角 度(θ)が4°以上の方向をいう。)への等価等方輻射電 力(1キャリア当たり)の制限値を満足すること。

表 4 正対方向以外の方向への等価等方輻射電力の制限値

正対方向からの放射角度 (θ)	等価等方輻射電力の制限値
	(dBm) <sub>注</sub>
$4^{\circ} \leq \theta < 40^{\circ}$	$73-27.5\log\theta \ (72-40\log\theta)$

$50^{\circ} \leq \theta < 90^{\circ}$	29 (8)
$90^{\circ} \leq \theta < 110^{\circ}$	96. 5 $-$ 0. 75 $\theta$ (8)
$110^{\circ} \leq \theta$	14 (8)

注 占有周波数帯幅の許容値が 36.5MHz の場合は、括弧内の値と する。また、放射角度の断区間における EIRP は断区間両端 EIRP の線形とする。

[(B) 略]

C 受信空中線

「(A) ~ (B) 略 ]

表 5 標準受信空中線特性

4	汉·5 保中文旧王下版书 [L
空中線の放射角度	受信空中線の標準特性
( \theta )	(6.5GHz/7.5GHz 帯) (dBi) 注
$0^{\circ} \leq \theta < 4^{\circ}$	$48-1.28 \theta^{-2}$
	$(47.3 - 1.706 \theta^{-2})$
$\underline{4^{\circ}} \leq \theta < 20^{\circ}$	$44-27.5\log\theta$
	$(44-40\log\theta)$
$50^{\circ} \leq \theta < 90^{\circ}$	0 (-20)
$90^{\circ} \leq \theta < 110^{\circ}$	67. 5 $-$ 0. 75 $\theta$ ( $-$ 20)
$110^{\circ} \leq \theta$	-15 (-20)

注 占有周波数帯幅の許容値が36.5MHzの場合は、括弧内の値と する。また、放射角度の断区間における標準特性は断区間両 端標準特性の線形とする。

[(C) 略] [エ 略]

$40^{\circ} \leq \theta < 90^{\circ}$	29 (8)
$90^{\circ} \leq \theta < 110^{\circ}$	96. 5 $-$ 0. 75 $\theta$ (8)
$110^{\circ} \leq \theta$	14 (8)

注 標準的な変調方式に64QAMを用いた場合は、括弧内の値とする。

[(B) 同左]

C 受信空中線

[(A)~(B)同左]

表 5 標準受信空中線特性

空中線の放射角度 (θ)	受信空中線特性 (dBi) 注
$0^{\circ} \leq \theta < 4^{\circ}$	$48-1.28 \theta^{-2}$
	$(47.3 - 1.706 \theta^{2})$
$\underline{4}^{\circ} \leq \theta < 40^{\circ}$	$44-27.5\log \theta$
	$(44-40\log\theta)$
$\underline{40^{\circ}} \leq \theta < \underline{90^{\circ}}$	0 (-20)
$90^{\circ} \leq \theta < 110^{\circ}$	67. $5-0.75 \theta$ (-20)
$110^{\circ} \leq \theta$	-15 (-20)

注1 標準的な変調方式に64QAMを用いた場合は、括弧内の値と する。

注 2 標準的な変調方式に128QAMを用いる場合にあっては、  $110^{\circ} \le \theta \le 170^{\circ}$  においては、希望波方向の絶対利得一 65dBの値とする。

[(C) 同左]

[エ 同左]

# [(ア) 略]

表 6 電波の型式及び受信電力

周波数带	占有周波数	標準的な	標準受信入力注	最大受信入力
	帯幅の	変調方式	1	(dBm)
	許容値		(dBm)	
7.5GHz帯	2.5MHz	4PSK	-67.5 + Fmr/	-45.0
			2	
6.5、	5MHz		-64.5 + Fmr/	-43.9
7.5GHz帯			2	
	9.5MHz		-59.5 + Fmr/	-39.3
			2	
		16QAM	-57.5 + Fmr/	-38.0
			2	
		128QAM	-54.5 + Fmr/	<b>−</b> 36.0 <sub>注3</sub>
	19MHz		2	
	28.5MHz		(-51.5 + Fmr)	
			/2) 注2	
		<u>256QAM</u>	-52.0 + Fmr/2	<u>-35.0</u>
		<u>512QAM</u>	-49.0 + Fmr/2	<u>-33.0</u>
		1024QAM	-46.0 + Fmr/2	<u>-31.0</u>
		<u>2048QAM</u>	-43.0 + Fmr/2	<u>-29.0</u>
	36.5MHz	64QAM	-55.5 + Fmr/	-37.0
			2	
			(-52.5 + Fmr)	
			/2) 注2	
		256QAM	-51.0 + Frm/2	<u>-34.0</u>
		<u>512QAM</u>	-48.0 + Frm/2	<u>-32.0</u>
		<u>1024QAM</u>	-45.0 + Frm/2	<u>-30.0</u>

# [(ア) 同左]

表 6 電波の型式及び受信電力

				•
周波数带	占有周波数	標準的な	標準受信入力	最大受信入力
	帯幅の	変調方式	注1	(dBm)
	許容値		(dBm)	
7.5GHz帯	2.5MHz	4PSK	-67.5 + Fmr/	-45.0
			2	
6.5、	5MHz		-64.5 + Fmr/	-43.9
7.5GHz帯			2	
	9.5MHz		-59.5 + Fmr/	-39.3
			2	
		16QAM	-57.5 + Fmr/	-38.0
			2	
		128QAM	-54.5 + Fmr/	<b>−</b> 36.0 <sub>注3</sub>
	19MHz		2	
	28.5MHz		(-51.5 + Fmr)	
			/2) 注2	
	36.5MHz	64QAM	-55.5 + Fmr/	-37.0
			2	
			(-52.5 + Fmr)	
			/2) 注2	

- 注1 Fmrは、目標回線品質に対応した所要フェージングマージンであり、別紙(4)-1により求める。
- 注2 コチャネル配置の場合は、括弧内の値とする。
- 注3 単一方式の場合は、-44dBmとする。

# $\begin{bmatrix} 2048QAM & -42.0 + Frm/2 & -28.0 \end{bmatrix}$

- 注1 Fmrは、目標回線品質に対応した所要フェージングマージンであり、別紙(4)-1により求める。
- 注2 コチャネル配置の場合は、括弧内の値とする。
- 注3 単一方式の場合は、-44dBmとする。

### (イ) 伝送の質

### A 回線瞬断率規格

伝送の質は、いかなる月においても表7に示す回線瞬断率 規格(Pis)を満足するものであること。ただし、次のB (B)に定める簡易判定法の条件を満たす場合には、当該規

(B) に定める簡易判定法の条件を満たす場合には、当該規格を満たすものとみなす。

表 7 回線瞬断率規格

周波数帯	占有周波数带	標準的な変調	回線瞬断率規格(Pis)
	幅の許容値	方式	注
7.5GHz帯	2.5MHz	4PSK	1×10 <sup>-6</sup> /km以下
6.5、	5MHz		4×10 <sup>-7</sup> /km以下
7.5GHz帯	9.5MHz		
		16QAM	
		128QAM	
	19MHz		
	28.5MHz		
		256QAM	
		512QAM	
		1024QAM	
		<u>2048QAM</u>	
	36.5MHz	64QAM	
		256QAM	

### (イ) 伝送の質

#### A 回線瞬断率規格

伝送の質は、いかなる月においても表7に示す回線瞬断率 規格 (Pis) を満足するものであること。ただし、次のB (B) に定める簡易判定法の条件を満たす場合には、当該規格を満 たすものとみなす。

表 7 回線瞬断率規格

<b>公</b> · 白/// 5/11							
周波数帯	占有周波数带	標準的な変調	回線瞬断率規格(Pis)				
	幅の許容値	方式	注				
7.5GHz帯	2.5MHz	4PSK	1×10 <sup>-6</sup> /km以下				
6.5、	5MHz		4×10 <sup>-7</sup> /km以下				
7.5GHz帯	9.5MHz						
		16QAM					
		128QAM					
	19MHz						
	28.5MHz						
	36.5MHz	64QAM					

注 符号誤り率が10<sup>-4</sup>を超える時間率(電力系統保護用信号を含む場合には、符号誤り率が10<sup>-7</sup>を超える時間率。)。

512QAM	
1024QAM	
2048QAM	

注 符号誤り率が10<sup>-4</sup>を超える時間率(電力系統保護用信号を 含む場合には、符号誤り率が10<sup>-7</sup>を超える時間率。)。

### B 伝送の質の判定法

「(A) 略]

(B) 簡易判定法

次のa(搬送波電力対熱雑音電力比)及びb(混信保護)の 条件を満足すること。

a 搬送波電力対熱雑音電力比

フェージング時の一区間の搬送波電力対熱雑音電力比C/Nthiが、表8に示すC/Ntho(瞬断率規格を満足するための所要C/N比)の値以上であること。フェージング時のC/Nthiは、次式により求める。

C/Nthi =  $-10\log (10^{-\text{C/Nth'}}/10 + 10^{-\text{C/Nxpd'}}/10 + 10^{-\text{C}})$ /Ncr/10) > C/Ntho

C/Nth': 熱雑音に対するC/N値。表8に示すC/ Nth'の値以上とする。

C/Nth' =Pr-Prni (KTBF) -Fms (dB)

Pr:平常時受信入力 (dBm)

Pr=Pt-(Lft+Lfr)-(Lcct+Lccr)+

(Gat+Gar) -Lp

Pt:送信出力 (dBm)

Lft、Lfr:送信フィーダ損失(dB)、受信フィーダ 損失(dB)

Lcct、Lccr:送信共用回路損失(dB)、受信共用回路 損失(dB)

Gat、Gar:送信空中線利得(dBi)、受信空中線利得

### B 伝送の質の判定法

「(A) 同左]

(B) 簡易判定法

次のa(搬送波電力対熱雑音電力比)及びb(混信保護)の 条件を満足すること。

a 搬送波電力対熱雑音電力比

フェージング時の一区間の搬送波電力対熱雑音電力比C/Nthiが、表8に示すC/Ntho (瞬断率規格を満足するための所要C/N比)の値以上であること。フェージング時のC/Nthiは、次式により求める。

C/Nthi= $-10\log (10^{-C/Nth'}/10+10^{-C/Nxpd'}/10+10^{-C/Nxpd'})$ Ncr/10) >C/Ntho

C/Nth': 熱雑音に対するC/N値。表8に示すC/ Nth'の値以上とする。

C/Nth' =Pr-Prni (KTBF) -Fms (dB)

Pr:平常時受信入力(dBm)

Pr=Pt- (Lft+Lfr) - (Lcct+Lccr) + (Gat+Gar) -Lp

Pt:送信出力 (dBm)

Lft、Lfr:送信フィーダ損失(dB)、受信フィーダ 損失(dB)

Lcct、Lccr:送信共用回路損失(dB)、受信共用回路 損失(dB)

Gat、Gar: 送信空中線利得(dBi)、受信空中線利得

(dBi) Lp:自由空間伝搬損失(dB)  $Lp=20\log (4000 \cdot \pi \cdot d/\lambda)$ d: 実伝送距離 (km) λ:波長  $\lambda = c/f$  (m) c:電波の速度 (3×10<sup>8</sup> (m/s)) f:周波数 6.5 GHz带: 6.7×10<sup>9</sup> (Hz) 7.5 GHz带: 7.6×10<sup>9</sup> (Hz) Prni (KTBF) : 受信機の熱雑音電力 (dBm) Prni = 10logB + F - 144B:受信機の等価雑音帯域幅(kHz) F: 受信機の雑音指数 (dB) Fms: 瞬断率規格を満足するための所要フェージング マージンで別紙 (4) -1 により求める。 (dB)C/Nxpd':交差偏波識別度(XPD)に対するC/N値 (dB) 「通常の場合]  $10^{-C/Nxpd'}/10 = 0$ [コチャネル配置の場合]  $C/Nxpd' = XPDo-Fmr+XPIC_0$ XPDo:空中線のXPDで平常時は38dBとする。 Fmr:目標回線品質を満足するための所要 フェージングマージン (dB) XPICo:装置のXPICによる改善量で18dB、またはそ れより高い実力値とする。 C/Ncr:搬送波電力対隣接チャネル漏えい電力比 (dB) 「通常の場合]

(dBi) Lp:自由空間伝搬損失(dB)  $Lp = 20\log (4000 \cdot \pi \cdot d / \lambda)$ d: 実伝送距離 (km) λ:波長  $\lambda = c/f$  (m) c:電波の速度 (3×10<sup>8</sup> (m/s)) f:周波数 6.5 GHz带: 6.7×10<sup>9</sup> (Hz) 7.5 GHz带: 7.6×10<sup>9</sup> (Hz) Prni (KTBF) : 受信機の熱雑音電力 (dBm) Prni = 10logB + F - 144B:受信機の等価雑音帯域幅(kHz) F: 受信機の雑音指数 (dB) Fms: 瞬断率規格を満足するための所要フェージング マージンで別紙 (4) -1 により求める。 (dB)C/Nxpd': 交差偏波識別度(XPD)に対するC/N値 (dB) 「通常の場合]  $10^{-C/Nxpd'}/10 = 0$ [コチャネル配置の場合]  $C/Nxpd' = XPDo-Fmr+XPIC_0$ XPDo:空中線のXPDで平常時は38dBとする。 Fmr: 目標回線品質を満足するための所要 フェージングマージン (dB) XPIC<sub>0</sub>:装置のXPICによる改善量で18dBとする。 C/Ncr:搬送波電力対隣接チャネル漏えい電力比 (dB) 「通常の場合]  $10^{-C/Ncr/10} = 0$ 

 $10^{-C/Ncr/10} = 0$ 

[同一偏波に2つのキャリアを平行して伝送する場合] C/Ncr=37.5 (dB)

ただし、電力系統保護用信号を含む場合は、40dBとする。

表8 熱雑音に対する所要C/N比(別紙(4)—13「雑音配分」 参照)

周波数带	占有周波	標準的な変	熱雑音に対する	XPD、隣接キャ
	数帯幅	調方式	所要C/N <sub>tho</sub>	リアに対する配
			(dB)	分を除いた熱雑
			注 1	音に対する所要
				C/N <sub>th</sub> ' (dB) <sub>注</sub>
				1
7.5GHz帯	2.5MHz	4PSK	22. 2 (26. 6)	22. 2 (26. 6)
6.5,	5MHz		23. 2 (26. 4)	23. 2 (26. 4)
7.5GHz帯	9.5MHz			
		16QAM	25.3 (29.8)	25.3 (29.8)
		128QAM	29.3 (31.8)	29.3 (31.8)
	19MHz			33. 3 (35. 8)
	28.5MHz			注2
		256QAM	<u>31. 5</u>	<u>31. 5</u>
		<u>512QAM</u>	<u>34. 9</u>	<u>34. 9</u>
		1024QAM	<u>38. 2</u>	<u>38. 2</u>
		2048QAM	<u>41. 5</u>	<u>41.5</u>
	36.5MHz	64QAM	27. 9	27.9
				30. 3 <sub>注 2</sub>
		256QAM	<u>31. 5</u>	<u>31. 5</u>
		<u>512QAM</u>	<u>34. 9</u>	<u>34. 9</u>
		1024QAM	<u>38. 2</u>	38. 2

[同一偏波に2つのキャリアを平行して伝送する場合] C/Ner=37.5 (dB)

ただし、電力系統保護用信号を含む場合は、40dBとする。

表8 熱雑音に対する所要C/N比(別紙(4)—13「雑音配分」 参照)

周波数带	占有周波	標準的な変	熱雑音に対する	XPD、隣接キャ
	数帯幅	調方式	所要C/N <sub>tho</sub>	リアに対する配
			(dB)	分を除いた熱雑
			注1	音に対する所要
				C/N <sub>th</sub> '(dB) <sub>注</sub>
				1
7.5GHz帯	2.5MHz	4PSK	22. 2 (26. 6)	22. 2 (26. 6)
6.5、7.5GHz	5MHz		23. 2 (26. 4)	23. 2 (26. 4)
帯	9.5MHz			
		16QAM	25.3 (29.8)	25. 3 (29. 8)
		128QAM	29.3 (31.8)	29. 3 (31. 8)
	19MHz			33. 3 (35. 8)
	28.5MHz			注2
	36.5MHz	64QAM	27. 9	27. 9
				30.3 <sub>注2</sub>

注1 括弧内は、電力系統保護用信号を含む場合の値

注2 コチャネル配置により2つのキャリアを伝送する場合の値とする。

2048QAM 41.5 41.5

- 注1 括弧内は、電力系統保護用信号を含む場合の値
- 注2 コチャネル配置により2つのキャリアを伝送する場合の値とする。

#### b 混信保護

陸上の無線局から受ける干渉として、表9に掲げる1波当たりの干渉波電力の値及び全干渉波電力の総和に対する値のいずれも満足すること。ただし、周波数の使用がひっ迫する地域等においては、全干渉波電力の総和に対する値を満足することで基準を満たすものとする。

全干渉波電力の総和に対する [C/I] aは、次式により求める。

[C/I] 
$$a = -10 \log \sum_{i=1}^{n} 10^{-c/Ii/10}$$

n:妨害波の数

C/I<sub>i</sub>:i番目の干渉波による搬送波電力対干渉波受信電力比(dB)

 $C/I_i = D/U_i + IRF_i$ 

D/U<sub>i</sub>:i番目の妨害波による希望波受信電力対妨害 波受信電力比(dB)。なお、妨害波の回折損失が 見込める場合には、別紙1別図第23号及び別紙1 別図第24号により求め加算する。

IRF<sub>i</sub>:希望波とi番目の妨害波間の干渉軽減係数 (dB)

表 9 混信保護値

厚	司波数带	占有周	標準的	混信保護値	(dB) <sub>注1、注2</sub>
		波数帯	な変調	干渉波	全干渉波の
		幅の	方式	一波当たりの値	総和に対する値

#### b 混信保護

陸上の無線局から受ける干渉として、表9に掲げる1波当たりの干渉波電力の値及び全干渉波電力の総和に対する値のいずれも満足すること。ただし、周波数の使用がひっ迫する地域等においては、全干渉波電力の総和に対する値を満足することで基準を満たすものとする。

全干渉波電力の総和に対する [C/I] aは、次式により求める。

[C/I] 
$$a = -10 \log \sum_{i=1}^{n} 10^{-c/Ii/10}$$

n:妨害波の数

C/I<sub>i</sub>:i番目の干渉波による搬送波電力対干渉波受信電力比(dB)

 $C/I_i = D/U_i + IRF_i$ 

D/U<sub>i</sub>: i番目の妨害波による希望波受信電力対妨害 波受信電力比(dB)。なお、妨害波の回折損失が 見込める場合には、別紙1別図第23号及び別紙1 別図第24号により求め加算する。

IRF<sub>i</sub>:希望波とi番目の妨害波間の干渉軽減係数 (dB)

表 9 混信保護値

周波数带	占有周	標準的	混信保護値	(dB) 注1、注2
	波数帯	な変調	干渉波	全干渉波の
	幅の	方式	一波当たりの値	総和に対する値

	許容値		(平	常時)	(フェージング
			同一	異経路	時)
			経路		
7.5GHz帯	2.5MHz	4PSK	26. 0	21.0+Fmr	16.0
			(30.0	(25.0+	(20.0)
			)	Fmr)	
6.5,	5MHz		26.0	21.0+Fmr	16.8
7.5GHz帯	9.5MHz		(26. 1	(25.1+	(19.6)
			)	Fmr)	
		16QAM	37.0	27.5 + Fmr	24.0
			(42.0)	(32.5+	(29. 0)
			)	Fmr)	
		128QAM	50. 5	37.5 + Fmr	34. 3
	19MHz		(53.0)	(40.0+	(36.8)
	28.5MHz		)	Fmr)	
		256QAM	<u>53. 5</u>	$\underline{40.5+Fmr}$	<u>37. 3</u>
			(56.0)	(43.0+	(39.8)
			<u> </u>	<u>Fmr)</u>	
		<u>512QAM</u>	<u>56. 5</u>	$\underline{43.5 + Fmr}$	<u>40. 3</u>
			(59.0	(46.0+	_(42.8)
			)	Fmr)_	
		<u>1024QAM</u>	<u>59. 5</u>	$\underline{46.5 + Fmr}$	<u>43. 3</u>
			(62.0)	(49.0+	<u>(45. 8)</u>
			)	<u>Fmr)</u>	
		2048QAM	<u>62. 5</u>	$\underline{49.5 + Fmr}$	<u>46. 3</u>
			(65. 0	(52.0+	_(48. 8)
			)	Fmr)_	
	36.5MHz	64QAM	45.0	35.0 + Fmr	31.5
		256QAM	<u>48. 0</u>	38.0 + Fmr	<u>34. 5</u>

	許容値		(平	常時)	(フェージング
			同一	異経路	時)
			経路		
7.5GHz帯	2.5MHz	4PSK	26.0	21.0+Fmr	16.0
			(30.0	(25.0+	(20.0)
			)	Fmr)	
6.5,	5MHz		26.0	21.0+Fmr	16.8
7.5GHz帯	9.5MHz		(26. 1	(25.1+	(19.6)
			)	Fmr)	
		16QAM	37.0	27.5+Fmr	24.0
			(42.0)	(32.5+	(29.0)
			)	Fmr)	
		128QAM	50.5	37.5 + Fmr	34. 3
	19MHz		(53.0	(40.0+	(36. 8)
	28.5MHz		)	Fmr)	
	36.5MHz	64QAM	45.0	35.0+Fmr	31.5

注1 時分割変調方式については、搬送波電力対干渉波 受信電力比(C/I)の値であり、与干渉についても表 中の値を超えないこと。

ここで、

C/I = D/U + IRF

とする。

D/U:希望波受信電力対妨害波受信電力比(dB)

IRF:干渉軽減係数(dB)。

別紙(4)-14による。

注2 括弧内は、電力系統保護用信号を含む回線に対する混信保護値を示す。

512QAM	<u>51. 0</u>	41.0+Fmr	<u>37. 5</u>
1024QAM	<u>54. 0</u>	$\underline{44.0 + Fmr}$	<u>40. 5</u>
2048QAM	<u>57. 0</u>	47.0 + Fmr	<u>43. 5</u>

注1 時分割変調方式については、搬送波電力対干渉波受 信電力比 (C/I) の値であり、与干渉についても表中 の値を超えないこと。

ここで、

C/I = D/U + IRF

とする。

D/U:希望波受信電力対妨害波受信電力比(dB)

IRF:干渉軽減係数(dB)。

別紙(4)-14による。

注2 括弧内は、電力系統保護用信号を含む回線に対する 混信保護値を示す。

「(C) 略]

「才略]

- ージン (Fmr) 及び回線瞬断率規格を満足するための所要フェージ ングマージン(Fms)の算出方法
- 1 目標回線品質を満足するための所要フェージングマージン (Fmr) 及び回線瞬断率規格を満足するための所要フェージングマ ージン(Fms) (無給電中継方式を使用する区間を除く。) の算出 方法
  - 「(1) 略]
  - (2) 標準的な変調方式が 16QAM 方式、64QAM 方式及び 128QAM、 256QAM、512QAM、1024QAM、2048QAM 方式の場合

「(C) 同左]

「オ 同左]

- |別紙(4)-1 目標回線品質を満足するための所要フェージングマ|別紙(4)-1 目標回線品質を満足するための所要フェージングマ ージン(Fmr)及び回線瞬断率規格を満足するための所要フェージン グマージン (Fms) の算出方法
  - 1 目標回線品質を満足するための所要フェージングマージン (Fmr) 及び回線瞬断率規格を満足するための所要フェージングマ ージン(Fms) (無給電中継方式を使用する区間を除く。) の算出 方法

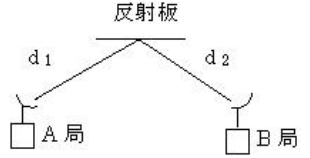
「(1) 同左]

(2) 標準的な変調方式が16QAM方式、64QAM方式及び128QAM方式 の場合

「ア~イ 同左〕

### [ア~イ 略]

- 2 目標回線品質を満足するための所要フェージングマージン (Fmr) 及び回線瞬断率規格を満足するための所要フェージング マージン(Fms) (無給電中継方式を使用する区間に限る。)の 算出方法
  - (1) 1箇所反射板を用いる中継方式の場合ア 単一受信時



d<sub>1</sub>:A局と反射板間との距離

d<sub>2</sub>:反射板とB局間との距離

(ア) 標準的な変調方式が4PSK方式の場合

$$\operatorname{Fmr} = 10\log\left(\frac{k(PR_1 + PR_2)}{Pir \cdot d}\right) \qquad \operatorname{Fms} = 10\log\left(\frac{k(PR_1 + PR_2)}{Pis \cdot d}\right)$$

(イ) 標準的な変調方式が16QAM方式、64QAM方式及び 128QAM、256QAM、512QAM、1024QAM、2048QAM 方式

$$F_{\text{mr}} = 10\log \left( \frac{\alpha MAIN_{1} \cdot (PR_{1} - Pa_{1}) + \beta a_{1} \cdot Pa_{1}}{(Pir \cdot d - Pd_{1} \cdot PR_{1}) \cdot 10^{\eta 1/10}} + \frac{\alpha MAIN_{2} \cdot (PR_{2} - Pa_{2}) + \beta a_{2} \cdot Pa_{2}}{(Pir \cdot d - Pd_{2} \cdot PR_{2}) \cdot 10^{\eta 2/10}} \right)$$

$$F_{\text{ms}} = 10\log \left( \frac{\alpha MAIN_{1} \cdot (PR_{1} - Pa_{1}) + \beta a_{1} \cdot Pa_{1}}{(Pis \cdot d - Pd_{1} \cdot PR_{1}) \cdot 10^{\eta 1/10}} + \frac{\alpha MAIN_{2} \cdot (PR_{2} - Pa_{2}) + \beta a_{2} \cdot Pa_{2}}{(Pis \cdot d - Pd_{2} \cdot PR_{2}) \cdot 10^{\eta 2/10}} \right)$$

ただし、 $Pir \cdot d$ (又は $Pis \cdot d$ )  $> Pd_i \cdot PR_i$ であること( $i = 1 \sim 2$ )。

- 2 目標回線品質を満足するための所要フェージングマージン (Fmr)及び回線瞬断率規格を満足するための所要フェージング マージン(Fms) (無給電中継方式を使用する区間に限る。)の 算出方法
  - (1) 1箇所反射板を用いる中継方式の場合
  - ア 単一受信時



d<sub>1</sub>:A局と反射板間との距離 d<sub>2</sub>:反射板とB局間との距離

(ア) 標準的な変調方式が 4 PSK方式の場合

$$\operatorname{Fmr} = 10\log\left(\frac{k\left(PR_1 + PR_2\right)}{Pir \cdot d}\right) \qquad \operatorname{Fms} = 10\log\left(\frac{k\left(PR_1 + PR_2\right)}{Pis \cdot d}\right)$$

(イ) 標準的な変調方式が16QAM方式、64QAM方式及び128QAM 方式

$$\begin{split} \operatorname{Fmr} &= 10\log \Biggl( \frac{o\!M\!A\!I\!N_{1} \cdot (PR_{1} - Pa_{1}) + \beta a_{1} \cdot Pa_{1}}{(Pir \cdot d - Pd_{1} \cdot PR_{1}) \cdot 10^{\eta 1/10}} \\ &+ \frac{o\!M\!A\!I\!N_{2} \cdot (PR_{2} - Pa_{2}) + \beta a_{2} \cdot Pa_{2}}{(Pir \cdot d - Pd_{2} \cdot PR_{2}) \cdot 10^{\eta 2/10}} \Biggr) \\ \operatorname{Fms} &= 10\log \Biggl( \frac{o\!M\!A\!I\!N_{1} \cdot (PR_{1} - Pa_{1}) + \beta a_{1} \cdot Pa_{1}}{(Pis \cdot d - Pd_{1} \cdot PR_{1}) \cdot 10^{\eta 1/10}} \\ &+ \frac{o\!M\!A\!I\!N_{2} \cdot (PR_{2} - Pa_{2}) + \beta a_{2} \cdot Pa_{2}}{(Pis \cdot d - Pd_{2} \cdot PR_{2}) \cdot 10^{\eta 2/10}} \Biggr) \end{split}$$

ただし、 $Pir \cdot d$ (又は $Pis \cdot d$ ) > $Pd_i \cdot PR_i$ であること( $i = 1 \sim 2$ )。

#### イ 3空中線SD

受信時(単一偏波4空中線SDの場合を含む。)



(ア) 標準的な変調方式が4PSK方式の場合

$$\begin{split} & \operatorname{Fmr} = \mathbf{10log} \! \left( \frac{k \cdot PR_1}{Rir \cdot d \cdot A_1} + \frac{k \cdot PR_2}{Rir \cdot d} \right) \\ & \operatorname{Fms} = \mathbf{10log} \! \left( \frac{k \cdot PR_1}{Ris \cdot d \cdot A_1} + \frac{k \cdot PR_2}{Ris \cdot d} \right) \end{split}$$

(イ) 標準的な変調方式が16QAM方式、64QAM方式及び 128QAM、256QAM、512QAM、1024QAM、2048QAM方式の場合

$$\begin{split} 128 \text{QAM}, & 256 \text{QAM}, & 512 \text{QAM}, & 1024 \text{QAM}, & 2048 \text{QAM} 力式の場合 \\ \text{Fmr} = & 5\log \left( \frac{\alpha SD_1 \cdot (PR_1 - Pa_1) + \beta a_1^{-2} \cdot Pa_1}{(\sqrt{Pir \cdot d} - \sqrt{Pd_1 \cdot PR_1})^2 \cdot (\mathbf{1} - \rho) \mathbf{10}^{(\eta 1 + A)/5}} \right. \\ & + \left[ \frac{\alpha MA N_2 \cdot (PR_2 - Pa_2) + \beta a_2 \cdot Pa_2}{(Pir \cdot d - Pd_2 \cdot PR_2) \cdot \mathbf{10}^{\eta 2/10}} \right]^2 \right) \\ \text{Fms} = & 5\log \left( \frac{\alpha SD_1 \cdot (PR_1 - Pa_1) + \beta a_1^{-2} \cdot Pa_1}{(\sqrt{Pis \cdot d} - \sqrt{Pd_1 \cdot PR_1})^2 \cdot (\mathbf{1} - \rho) \mathbf{10}^{(\eta 1 + A)/5}} \right. \\ & + \left[ \frac{\alpha MA N_2 \cdot (PR_2 - Pa_2) + \beta a_2 \cdot Pa_2}{(Pis \cdot d - Pd_2 \cdot PR_2) \cdot \mathbf{10}^{\eta 2/10}} \right]^2 \right) \end{split}$$

ただし、Pir・d(又はPis・d) >Pdi・PRiであること(i= 1~2)。

# ウ 4空中線

SD受信時(単一偏波4空中線SDの場合を除く。)

### イ 3空中線SD

受信時(単一偏波4空中線SDの場合を含む。)



(ア) 標準的な変調方式が4PSK方式の場合

$$\begin{aligned} & \operatorname{Fmr} = \mathbf{10log} \left( \frac{k \cdot PR_1}{Rr \cdot d \cdot A_1} + \frac{k \cdot PR_2}{Pir \cdot d} \right) \\ & \operatorname{Fms} = \mathbf{10log} \left( \frac{k \cdot PR_1}{Rs \cdot d \cdot A_1} + \frac{k \cdot PR_2}{Rs \cdot d} \right) \end{aligned}$$

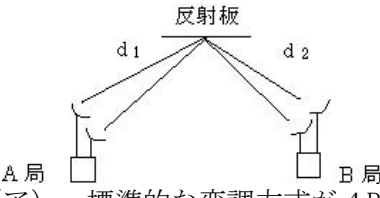
(イ) 標準的な変調方式が16QAM方式、64QAM方式及び128QAM 方式の場合

$$\begin{split} \operatorname{Fmr} &= 5\log \left( \frac{\alpha SD_{1} \cdot (PR_{1} - Pa_{1}) + \beta a_{1}^{-2} \cdot Pa_{1}}{(\sqrt{Pir \cdot d} - \sqrt{Pd_{1} \cdot PR_{1}})^{2} \cdot (1 - \rho) \mathbf{10}^{(\eta_{1} + A)/5}} \right. \\ &+ \left[ \frac{\alpha MAIN_{2} \cdot (PR_{2} - Pa_{2}) + \beta a_{2} \cdot Pa_{2}}{(Pir \cdot d - Pd_{2} \cdot PR_{2}) \cdot \mathbf{10}^{\eta_{2}/10}} \right]^{2} \right) \\ \operatorname{Fms} &= 5\log \left[ \frac{\alpha SD_{1} \cdot (PR_{1} - Pa_{1}) + \beta a_{1}^{-2} \cdot Pa_{1}}{(\sqrt{Pis \cdot d} - \sqrt{Pd_{1} \cdot PR_{1}})^{2} \cdot (1 - \rho) \mathbf{10}^{(\eta_{1} + A)/5}} \right. \\ &+ \left[ \frac{\alpha MAIN_{2} \cdot (PR_{2} - Pa_{2}) + \beta a_{2} \cdot Pa_{2}}{(Pis \cdot d - Pd_{2} \cdot PR_{2}) \cdot \mathbf{10}^{\eta_{2}/10}} \right]^{2} \right) \end{split}$$

ただし、 $Pir \cdot d$ (又は $Pis \cdot d$ ) > $Pd_i \cdot PR_i$ であること( $i = 1 \sim 2$ )。

## ウ 4空中線

SD受信時(単一偏波4空中線SDの場合を除く。)



(ア) 標準的な変調方式が4PSK方式の場合

$$\begin{aligned} &\mathbf{Fmr} = 10 \log \left( \frac{k \cdot PR_1}{Pir \cdot d \cdot A_1} + \frac{k \cdot PR_2}{Pir \cdot d \cdot A_2} \right) \\ &\mathbf{Fms} = 10 \log \left( \frac{k \cdot PR_1}{Pis \cdot d \cdot A_1} + \frac{k \cdot PR_2}{Pis \cdot d \cdot A_2} \right) \end{aligned}$$

(イ) 標準的な変調方式が16QAM方式、64QAM方式及び128QAM、256QAM、512QAM、1024QAM、2048QAM方式の場合

$$\begin{aligned} \text{Fmr} &= 5 \log \left( \frac{\alpha S D_1 \cdot (P R_1 - P \alpha_1) + \beta \alpha_1^2 \cdot P \alpha_1}{(\sqrt{P t r \cdot d} - \sqrt{P d_1 \cdot P R_1})^2 \cdot (1 - \rho) 10^{(\eta 1 + A)/5}} \right. \\ &+ \frac{\alpha S D_2 \cdot (P R_2 - P \alpha_2) + \beta \alpha_2^2 \cdot P \alpha_2}{(\sqrt{P t r \cdot d} - \sqrt{P d_2 \cdot P R_2})^2 \cdot (1 - \rho) 10^{(\eta 2 + A)/5}} \right) \\ \text{Fms} &= 5 \log \left( \frac{\alpha S D_1 \cdot (P R_1 - P \alpha_1) + \beta \alpha_1^2 \cdot P \alpha_1}{(\sqrt{P t s \cdot d} - \sqrt{P d_1 \cdot P R_1})^2 \cdot (1 - \rho) 10^{(\eta 1 + A)/5}} \right) \end{aligned}$$

$$+\frac{\alpha SD_{2} \cdot (PR_{2} - P\alpha_{2}) + \beta \alpha_{2}^{2} \cdot P\alpha_{2}}{(\sqrt{Pis \cdot d} - \sqrt{Pd_{2} \cdot PR_{2}})^{2} \cdot (1 - \rho)10^{(q/2+4)/5}}\right)$$

ただし、 $Pir \cdot d$ (又は $Pis \cdot d$ )  $> Pd_i \cdot PR_i$ であること( $i = 1 \sim 2$ )。

(2) 2箇所反射板を用いる中継方式の場合 ア 単一受信時



(ア) 標準的な変調方式が 4 PSK方式の場合

$$\begin{aligned} &\mathbf{Fmr} = 10 \log \left( \frac{k \cdot PR_1}{Pir \cdot d \cdot A_1} + \frac{k \cdot PR_2}{Pir \cdot d \cdot A_2} \right) \\ &\mathbf{Fms} = 10 \log \left( \frac{k \cdot PR_1}{Pis \cdot d \cdot A_1} + \frac{k \cdot PR_2}{Pis \cdot d \cdot A_2} \right) \end{aligned}$$

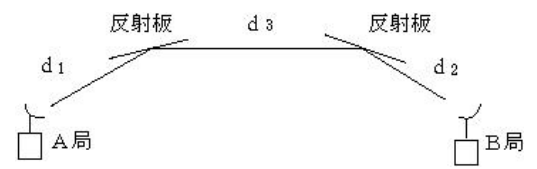
(イ) 標準的な変調方式が16QAM方式、64QAM方式及び128QAM 方式の場合

$$\begin{split} \text{Fmr} &= 5 \log \Bigg( \frac{\alpha S D_1 \cdot (P R_1 - P \alpha_1) + \beta {\alpha_1}^2 \cdot P \alpha_1}{(\sqrt{P t r \cdot d} - \sqrt{P d_1 \cdot P R_1})^2 \cdot (1 - \rho) 10^{(\eta 1 + 4)/5}} \\ &\quad + \frac{\alpha S D_2 \cdot (P R_2 - P \alpha_2) + \beta {\alpha_2}^2 \cdot P \alpha_2}{(\sqrt{P t r \cdot d} - \sqrt{P d_2 \cdot P R_2})^2 \cdot (1 - \rho) 10^{(\eta 2 + 4)/5}} \Bigg) \\ \text{Fms} &= 5 \log \Bigg( \frac{\alpha S D_1 \cdot (P R_1 - P \alpha_1) + \beta {\alpha_1}^2 \cdot P \alpha_1}{(\sqrt{P t s \cdot d} - \sqrt{P d_1 \cdot P R_1})^2 \cdot (1 - \rho) 10^{(\eta 1 + 4)/5}} \Bigg) \end{split}$$

$$+\frac{\alpha SD_{2} \cdot (PR_{2} - P\alpha_{2}) + \beta {\alpha_{2}}^{2} \cdot P\alpha_{2}}{(\sqrt{Pts \cdot d} - \sqrt{Pd_{2} \cdot PR_{2}})^{2} \cdot (1 - \rho)10^{(q_{2} + 4)/5}}\right)$$

ただし、 $Pir \cdot d$ (又は $Pis \cdot d$ ) > $Pd_i \cdot PR_i$ であること( $i = 1 \sim 2$ )。

(2) 2箇所反射板を用いる中継方式の場合 ア 単一受信時



d3: 反射板相互間の距離

(ア) 標準的な変調方式が4PSK方式の場合

$$\begin{aligned} & \texttt{Fmr} = 10 \log \left( \frac{k \left( PR_1 + PR_3 + PR_2 \right)}{Ptr \cdot d} \right) \\ & \texttt{Fms} = 10 \log \left( \frac{k \left( PR_1 + PR_3 + PR_2 \right)}{Pts \cdot d} \right) \end{aligned}$$

(イ) 標準的な変調方式が16QAM方式、64QAM方式及び128QAM、256QAM、512QAM、1024QAM、2048QAM方式の場合

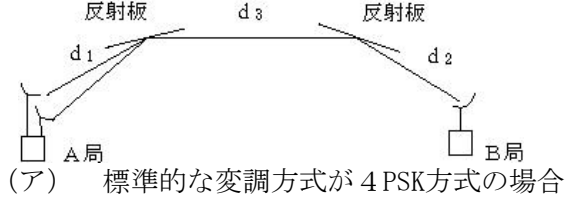
$$\begin{aligned} \text{Fmr} &= 10 \log \left( \frac{\alpha MAIN_{1} \cdot (PR_{1} - P\alpha_{1}) + \beta \alpha_{1} \cdot P\alpha_{1}}{(Pir \cdot d - Pd_{1} \cdot PR_{1}) \cdot 10^{\eta 1/10}} + \frac{\alpha MAIN_{3} \cdot (PR_{3} - P\alpha_{3}) + \beta \alpha_{1}}{(Pir \cdot d - Pd_{3} \cdot PR_{3}) \cdot 10^{\eta 1/10}} + \frac{\alpha MAIN_{2} \cdot (PR_{2} - P\alpha_{2}) + \beta \alpha_{2} \cdot P\alpha_{2}}{(Pir \cdot d - Pd_{3} \cdot PR_{3}) \cdot 10^{\eta 2/10}} \right) \end{aligned}$$

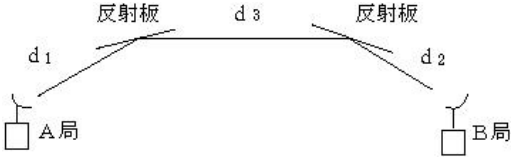
$$Fms = 10 \log \left( \frac{\alpha MAIN_1 \cdot (PR_1 - P\alpha_1) + \beta \alpha_1 \cdot P\alpha_1}{(Pis \cdot d - Pd_1 \cdot PR_1) \cdot 10^{n1/10}} + \frac{\alpha MAIN_3 \cdot (PR_3 - P\alpha_3) + \beta \alpha_1}{(Pis \cdot d - Pd_3 \cdot PR_3) \cdot 10^{n1/10}} \right)$$

+ 
$$\frac{\alpha MAIN_2 \cdot (PR_2 - P\alpha_2) + \beta \alpha_2 \cdot P\alpha_2}{(Pis \cdot d - Pd_2 PR_2) \cdot 10^{n2/10}}$$

ただし、 $Pir \cdot d$ (又は $Pis \cdot d$ ) > $Pd_i \cdot PR_i$ であること( $i = 1 \sim 3$ )。

イ 3空中線SD受信時(単一偏波4空中線SDの場合を含む。)





d3: 反射板相互間の距離

(ア) 標準的な変調方式が4PSK方式の場合

$$\begin{aligned} & \texttt{Fmr} = 10\log \bigg( \frac{k \big( PR_1 + PR_3 + PR_2 \big)}{Ptr \cdot d} \bigg) \\ & \texttt{Fms} = 10\log \bigg( \frac{k \big( PR_1 + PR_3 + PR_2 \big)}{Pts \cdot d} \bigg) \end{aligned}$$

(イ) 標準的な変調方式が16QAM方式、64QAM方式及び128QAM 方式の場合

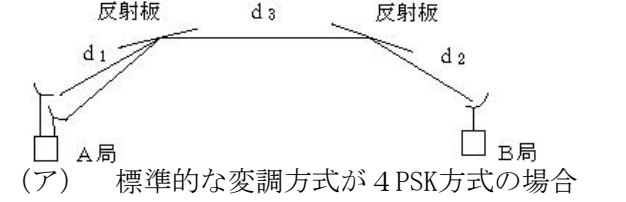
$$\begin{split} \text{Fmr} &= 10 \log \Bigg( \frac{\alpha MAIN_1 \cdot (PR_1 - P\alpha_1) + \beta \alpha_1 \cdot P\alpha_1}{(Pir \cdot d - Pd_1 \cdot PR_1) \cdot 10^{\eta 1/10}} + \frac{\alpha MAIN_3 \cdot (PR_3 - P\alpha_3) + \beta \alpha_1}{(Pir \cdot d - Pd_3 \cdot PR_3) \cdot 10^{\eta 1/10}} \\ &\quad + \frac{\alpha MAIN_2 \cdot (PR_2 - P\alpha_2) + \beta \alpha_2 \cdot P\alpha_2}{(Pir \cdot d - Pd_2 PR_2) \cdot 10^{\eta 2/10}} \Bigg) \end{split}$$

$$\texttt{Fms} = 10\log \left( \frac{\alpha MAIN_1 \cdot (PR_1 - P\alpha_1) + \beta \alpha_1 \cdot P\alpha_1}{(Pis \cdot d - Pd_1 \cdot PR_1) \cdot 10^{n1/10}} + \frac{\alpha MAIN_3 \cdot (PR_3 - P\alpha_3) + \beta \alpha_1}{(Pis \cdot d - Pd_3 \cdot PR_3) \cdot 10^n} + \frac{\alpha MAIN_3 \cdot (PR_3 - P\alpha_3) + \beta \alpha_1}{(Pis \cdot d - Pd_3 \cdot PR_3) \cdot 10^n} + \frac{\alpha MAIN_3 \cdot (PR_3 - P\alpha_3) + \beta \alpha_1}{(Pis \cdot d - Pd_3 \cdot PR_3) \cdot 10^n} + \frac{\alpha MAIN_3 \cdot (PR_3 - P\alpha_3) + \beta \alpha_1}{(Pis \cdot d - Pd_3 \cdot PR_3) \cdot 10^n} + \frac{\alpha MAIN_3 \cdot (PR_3 - P\alpha_3) + \beta \alpha_1}{(Pis \cdot d - Pd_3 \cdot PR_3) \cdot 10^n} + \frac{\alpha MAIN_3 \cdot (PR_3 - P\alpha_3) + \beta \alpha_1}{(Pis \cdot d - Pd_3 \cdot PR_3) \cdot 10^n} + \frac{\alpha MAIN_3 \cdot (PR_3 - P\alpha_3) + \beta \alpha_1}{(Pis \cdot d - Pd_3 \cdot PR_3) \cdot 10^n} + \frac{\alpha MAIN_3 \cdot (PR_3 - P\alpha_3) + \beta \alpha_1}{(Pis \cdot d - Pd_3 \cdot PR_3) \cdot 10^n} + \frac{\alpha MAIN_3 \cdot (PR_3 - P\alpha_3) + \beta \alpha_1}{(Pis \cdot d - Pd_3 \cdot PR_3) \cdot 10^n} + \frac{\alpha MAIN_3 \cdot (PR_3 - P\alpha_3) + \beta \alpha_1}{(Pis \cdot d - Pd_3 \cdot PR_3) \cdot 10^n} + \frac{\alpha MAIN_3 \cdot (PR_3 - P\alpha_3) + \beta \alpha_1}{(Pis \cdot d - Pd_3 \cdot PR_3) \cdot 10^n} + \frac{\alpha MAIN_3 \cdot (PR_3 - P\alpha_3) + \beta \alpha_1}{(Pis \cdot d - Pd_3 \cdot PR_3) \cdot 10^n} + \frac{\alpha MAIN_3 \cdot (PR_3 - P\alpha_3) + \beta \alpha_1}{(Pis \cdot d - Pd_3 \cdot PR_3) \cdot 10^n} + \frac{\alpha MAIN_3 \cdot (PR_3 - P\alpha_3) + \beta \alpha_1}{(Pis \cdot d - Pd_3 \cdot PR_3) \cdot 10^n} + \frac{\alpha MAIN_3 \cdot (PR_3 - P\alpha_3) + \beta \alpha_1}{(Pis \cdot d - Pd_3 \cdot PR_3) \cdot 10^n} + \frac{\alpha MAIN_3 \cdot (PR_3 - P\alpha_3) + \beta \alpha_1}{(Pis \cdot d - P\alpha_3) \cdot 10^n} + \frac{\alpha MAIN_3 \cdot (PR_3 - P\alpha_3) + \beta \alpha_2}{(Pis \cdot d - P\alpha_3) \cdot 10^n} + \frac{\alpha MAIN_3 \cdot (PR_3 - P\alpha_3) + \beta \alpha_2}{(Pis \cdot d - P\alpha_3) \cdot 10^n} + \frac{\alpha MAIN_3 \cdot (PR_3 - P\alpha_3) + \beta \alpha_3}{(Pis \cdot d - P\alpha_3) \cdot 10^n} + \frac{\alpha MAIN_3 \cdot (PR_3 - P\alpha_3) + \beta \alpha_3}{(Pis \cdot d - P\alpha_3) \cdot 10^n} + \frac{\alpha MAIN_3 \cdot (PR_3 - P\alpha_3) + \beta \alpha_3}{(Pis \cdot d - P\alpha_3) \cdot 10^n} + \frac{\alpha MAIN_3 \cdot (PR_3 - P\alpha_3) + \beta \alpha_3}{(Pis \cdot d - P\alpha_3) \cdot 10^n} + \frac{\alpha MAIN_3 \cdot (PR_3 - P\alpha_3) + \beta \alpha_3}{(Pis \cdot d - P\alpha_3) \cdot 10^n} + \frac{\alpha MAIN_3 \cdot (PR_3 - P\alpha_3) + \beta \alpha_3}{(Pis \cdot d - P\alpha_3) \cdot 10^n} + \frac{\alpha MAIN_3 \cdot (PR_3 - P\alpha_3) + \beta \alpha_3}{(Pis \cdot d - P\alpha_3) \cdot 10^n} + \frac{\alpha MAIN_3 \cdot (PR_3 - P\alpha_3) + \beta \alpha_3}{(Pis \cdot d - P\alpha_3) \cdot 10^n} + \frac{\alpha MAIN_3 \cdot (PR_3 - P\alpha_3) + \beta \alpha_3}{(Pis \cdot d - P\alpha_3) \cdot 10^n} + \frac{\alpha MAIN_3 \cdot (PR_3 - P\alpha_3) + \beta \alpha_3}{(Pis \cdot d - P\alpha_3) \cdot 10^n} + \frac{\alpha MAIN_3 \cdot (PR_3 - P\alpha_3) + \beta \alpha_3}{(Pis \cdot d - P\alpha_3) \cdot 10^n} + \frac{\alpha MAIN_3 \cdot$$

$$+\frac{\alpha MAIN_{2} \cdot (PR_{2} - P\alpha_{2}) + \beta \alpha_{2} \cdot P\alpha_{2}}{(Pis \cdot d - Pd_{2}PR_{2}) \cdot 10^{n2/10}}\right)$$

ただし、 $Pir \cdot d$ (又は $Pis \cdot d$ ) > $Pd_i \cdot PR_i$ であること( $i = 1 \sim 3$ )。

イ 3 空中線SD受信時(単一偏波 4 空中線SDの場合を含む。)



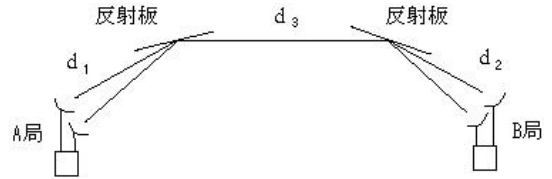
$$\begin{aligned} & \texttt{Fmr} = 10 \log \left( \frac{k \cdot PR_1}{Ptr \cdot d \cdot A_1} + \frac{k \cdot PR_3}{Ptr \cdot d} + \frac{k \cdot PR_2}{Ptr \cdot d} \right) \\ & \texttt{Fms} = 10 \log \left( \frac{k \cdot PR_1}{Pts \cdot d \cdot A_1} + \frac{k \cdot PR_3}{Pts \cdot d} + \frac{k \cdot PR_2}{Pts \cdot d} \right) \end{aligned}$$

(イ) 標準的な変調方式が16QAM方式、64QAM方式及び 128QAM、256QAM、512QAM、1024QAM、2048QAM方式の場合

$$\begin{split} \operatorname{Fmr} &= \operatorname{Slog} \left[ \frac{\alpha SD_1 \cdot (PR_1 - Pa_1) + \beta a_1^2 \cdot Pa_1}{(\sqrt{Pir \cdot d} - \sqrt{Pd_1 \cdot PR_1})^2 \cdot (1 - \rho) \cdot 10^{(\eta 1 + \delta)/5}} + \left[ \frac{\alpha MAIN_3 \cdot (PR_3 - Pa_3) + \beta a_1^2 \cdot Pa_1}{(Pir \cdot d - Pd_3 \cdot PR_3) \cdot 1} \right] \right] \\ &+ \left[ \frac{\alpha MAIN_2 \cdot (PR_2 - Pa_2) + \beta a_2 \cdot Pa_2}{(Pir \cdot d - Pd_2 PR_2) \cdot 10^{\eta 2/10}} \right]^2 \right] \\ \operatorname{Fms} &= \operatorname{Slog} \left( \frac{\alpha SD_1 \cdot (PR_1 - Pa_1) + \beta a_1^2 \cdot Pa_1}{(\sqrt{Pis \cdot d} - \sqrt{Pd_1 \cdot PR_1})^2 \cdot (1 - \rho) \cdot 10^{(\eta 1 + \delta)/5}} + \left[ \frac{\alpha MAIN_3 \cdot (PR_3 - Pa_3) + \beta a_2^2 \cdot Pa_2}{(Pis \cdot d - Pd_3 \cdot PR_3) \cdot 10^{\eta 2/10}} \right]^2 \right] \\ &+ \left[ \frac{\alpha MAIN_2 \cdot (PR_2 - Pa_2) + \beta a_2 \cdot Pa_2}{(Pis \cdot d - Pd_3 \cdot PR_3) \cdot 10^{\eta 2/10}} \right]^2 \right] \end{split}$$

ただし、 $Pir \cdot d$ (又は $Pis \cdot d$ ) > $Pd_i \cdot PR_i$ であること( $i = 1 \sim 3$ )。

ウ 4空中線SD受信時(単一偏波4空中線SDの場合を除く。)



(ア) 標準的な変調方式が 4 PSK方式の場合

$$\begin{aligned} & \texttt{Fmr} = \texttt{10log} \bigg( \frac{k \cdot PR_1}{Ptr \cdot d \cdot A_1} + \frac{k \cdot PR_3}{Ptr \cdot d} + \frac{k \cdot PR_2}{Ptr \cdot d \cdot A_2} \bigg) \\ & \texttt{Fms} = \texttt{10log} \bigg( \frac{k \cdot PR_1}{Pts \cdot d \cdot A_1} + \frac{k \cdot PR_3}{Pts \cdot d} + \frac{k \cdot PR_2}{Pts \cdot d \cdot A_2} \bigg) \end{aligned}$$

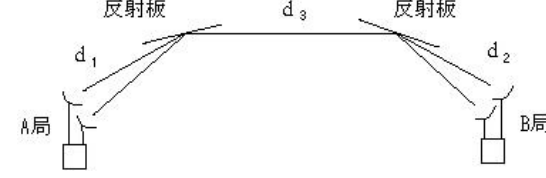
$$\begin{aligned} & \texttt{Fmr} = 10 \log \left( \frac{k \cdot PR_1}{Ptr \cdot d \cdot A_1} + \frac{k \cdot PR_3}{Ptr \cdot d} + \frac{k \cdot PR_2}{Ptr \cdot d} \right) \\ & \texttt{Fms} = 10 \log \left( \frac{k \cdot PR_1}{Pts \cdot d \cdot A_1} + \frac{k \cdot PR_3}{Pts \cdot d} + \frac{k \cdot PR_2}{Pts \cdot d} \right) \end{aligned}$$

(イ) 標準的な変調方式が16QAM方式、64QAM方式及び128QAM 方式の場合

$$\begin{split} \operatorname{Fmr} &= 5 \log \left( \frac{\alpha SD_{1} \cdot (PR_{1} - Pa_{1}) + \beta a_{1}^{2} \cdot Pa_{1}}{(\sqrt{Pir \cdot d} - \sqrt{Pd_{1} \cdot PR_{1}})^{2} \cdot (1 - \rho) \cdot 10^{(n) + A) \cdot 5}} + \left[ \frac{\alpha MAIN_{3} \cdot (PR_{3} - Pa_{3}) + \beta a_{1}}{(Pir \cdot d - Pd_{3} \cdot PR_{3}) \cdot 10^{n}} \right] \\ &+ \left[ \frac{\alpha MAIN_{2} \cdot (PR_{2} - Pa_{2}) + \beta a_{2} \cdot Pa_{2}}{(Pir \cdot d - Pd_{2}PR_{2}) \cdot 10^{n \cdot 2 \cdot 10}} \right]^{2} \right) \\ \operatorname{Fms} &= 5 \log \left( \frac{\alpha SD_{1} \cdot (PR_{1} - Pa_{1}) + \beta a_{1}^{2} \cdot Pa_{1}}{(\sqrt{Pis \cdot d} - \sqrt{Pd_{1} \cdot PR_{1}})^{2} \cdot (1 - \rho) \cdot 10^{(n) + A) \cdot 5}} + \left[ \frac{\alpha MAIN_{3} \cdot (PR_{3} - Pa_{3}) + \beta a_{2}}{(Pis \cdot d - Pd_{3} \cdot PR_{3}) \cdot 10} \right] \\ &+ \left[ \frac{\alpha MAIN_{2} \cdot (PR_{2} - Pa_{2}) + \beta a_{2} \cdot Pa_{2}}{(Pis \cdot d - Pd_{2}PR_{2}) \cdot 10^{n \cdot 2 \cdot 10}} \right]^{2} \right) \end{split}$$

ただし、Pir・d(又はPis・d) >Pdi・PRiであること(i= 1~3)。

ウ 4空中線SD受信時(単一偏波4空中線SDの場合を除く。)



(ア) 標準的な変調方式が4PSK方式の場合

$$\begin{aligned} & \texttt{Fmr} = \texttt{10log} \bigg( \frac{k \cdot PR_1}{Pir \cdot d \cdot A_1} + \frac{k \cdot PR_3}{Pir \cdot d} + \frac{k \cdot PR_2}{Pir \cdot d \cdot A_2} \bigg) \\ & \texttt{Fms} = \texttt{10log} \bigg( \frac{k \cdot PR_1}{Pis \cdot d \cdot A_1} + \frac{k \cdot PR_3}{Pis \cdot d} + \frac{k \cdot PR_2}{Pis \cdot d \cdot A_2} \bigg) \end{aligned}$$

(イ) 標準的な変調方式が16QAM方式、64QAM方式及び 128QAM、256QAM、512QAM、1024QAM、2048QAM方式の場合

$$\begin{split} \text{Fmr} = & 5\log \left[ \frac{\alpha \text{SD}_1 \cdot (\text{PR}_1 - \text{Pa}_1) + \beta \, \text{a}_1^{\, 2} \cdot \text{Pa}_1}{(\sqrt{\text{Pir} \cdot \text{d}} - \sqrt{\text{Pd}_1 \cdot \text{PR}_1})^2 \cdot (1 - \rho) \, 10^{(n \, 1 + \text{A}) / 5}} \right. \\ & + \left[ \frac{\alpha \, \text{MAIN}_3 \cdot (\text{PR}_3 - \text{Pa}_3) + \beta \, \text{a}_3 \cdot \text{Pa}_3}{(\text{Pir} \cdot \text{d} - \text{Pd}_3 \cdot \text{PR}_3) \cdot 10^{n \, 3 / 10}} \right]^2 \\ & + \frac{\alpha \, \text{SD}_2 \cdot (\text{PR}_2 - \text{Pa}_2) + \beta \, \text{a}_2^{\, 2} \cdot \text{Pa}_2}{(\sqrt{\text{Pir} \cdot \text{d}} - \sqrt{\text{Pd}_2} \cdot \text{PR}_2)^2 \cdot (1 - \rho) \, 10^{(n \, 2 + \text{A}) / 5}} \right] \\ \text{Fms} = & 5\log \left[ \frac{\alpha \, \text{SD}_1 \cdot (\text{PR}_1 - \text{Pa}_1) + \beta \, \text{a}_1^{\, 2} \cdot \text{Pa}_1}{(\sqrt{\text{Pis} \cdot \text{d}} - \sqrt{\text{Pd}_1 \cdot \text{PR}_1})^2 \cdot (1 - \rho) \, 10^{(n \, 1 + \text{A}) / 5}} \right. \\ & + \left. \left[ \frac{\alpha \, \text{MAIN}_3 \cdot (\text{PR}_3 - \text{Pa}_3) + \beta \, \text{a}_3 \cdot \text{Pa}_3}{(\text{Pis} \cdot \text{d} - \text{Pd}_3 \cdot \text{PR}_3) \cdot 10^{n \, 3 / 10}} \right]^2 \right. \\ & + \frac{\alpha \, \text{SD}_2 \cdot (\text{PR}_2 - \text{Pa}_2) + \beta \, \text{a}_2^{\, 2} \cdot \text{Pa}_2}{(\sqrt{\text{Pis} \cdot \text{d}} - \sqrt{\text{Pd}_2 \cdot \text{PR}_2})^2 \cdot (1 - \rho) \, 10^{(n \, 2 + \text{A}) / 5}} \right] \end{split}$$

ただし、Pir・d (又はPis・d) >Pdi・PRiであること (i  $= 1 \sim 3$ )

なお、3筒所反射板以上を用いる中継方式の場合は、必要に応じ (2) に準じて Fmr 又は Fms を求めることができる。

「別紙  $(4) - 2 \sim (4) - 6$  略]

フェージングマージン(Fm)の算出方法

$$Fm=C/N1-C/N2$$
 ここで、  $C/N1=-10\log (10^{-C/Nth/10}+10^{-C/Nid/10}+10^{-C/Nsat/10})$   $C/N2=-10\log (10^{-C/No/10}-10^{-C/Nconst/10}-10^{-C/Nis/10})$   $C/Nth:$  平常時における搬送波電力対熱雑音電力比(dB)  $C/Nth=Pr-Prni$ 

(イ) 標準的な変調方式が16QAM方式、64QAM方式及び128QAM 方式の場合

$$\begin{split} \text{Fmr} = & 5\log \left[ \frac{\alpha \text{SD}_1 \cdot (\text{PR}_1 - \text{Pa}_1) + \beta \, \text{a}_1^{\ 2} \cdot \text{Pa}_1}{(\sqrt{\text{Fir} \cdot \text{d}} - \sqrt{\text{Pd}_1 \cdot \text{PR}_1})^2 \cdot (1 - \rho) \, 10^{(n^1 + \text{A})/5}} \right. \\ & + \left[ \frac{\alpha \text{MAIN}_3 \cdot (\text{PR}_3 - \text{Pa}_3) + \beta \, \text{a}_3 \cdot \text{Pa}_3}{(\text{Pir} \cdot \text{d} - \text{Pd}_3 \cdot \text{PR}_3) \cdot 10^{n^3 \times 10}} \right]^2 \\ & + \frac{\alpha \text{SD}_2 \cdot (\text{PR}_2 - \text{Pa}_2) + \beta \, \text{a}_2^{\ 2} \cdot \text{Pa}_2}{(\sqrt{\text{Pir} \cdot \text{d}} - \sqrt{\text{Pd}_2 \cdot \text{PR}_2})^2 \cdot (1 - \rho) \, 10^{(n^2 + \text{A})/5}} \right] \\ \text{Fms} = & 5\log \left[ \frac{\alpha \text{SD}_1 \cdot (\text{PR}_1 - \text{Pa}_1) + \beta \, \text{a}_1^2 \cdot \text{Pa}_1}{(\sqrt{\text{Pis} \cdot \text{d}} - \sqrt{\text{Pd}_1 \cdot \text{PR}_1})^2 \cdot (1 - \rho) \, 10^{(n^1 + \text{A})/5}} \right. \\ & + \left. \left[ \frac{\alpha \text{MAIN}_3 \cdot (\text{PR}_3 - \text{Pa}_3) + \beta \, \text{a}_3 \cdot \text{Pa}_3}{(\text{Pis} \cdot \text{d} - \text{Pd}_3 \cdot \text{PR}_3) \cdot 10^{n^3 \times 10}} \right]^2 \\ & + \frac{\alpha \text{SD}_2 \cdot (\text{PR}_2 - \text{Pa}_2) + \beta \, \text{a}_2^2 \cdot \text{Pa}_2}{(\sqrt{\text{Pis} \cdot \text{d}} - \sqrt{\text{Pd}_2 \cdot \text{PR}_2})^2 \cdot (1 - \rho) \, 10^{(n^2 + \text{A})/5}} \right] \end{split}$$

ただし、Pir・d (又はPis・d) >Pdi・PRiであること (i=  $1 \sim 3$ 

なお、3箇所反射板以上を用いる中継方式の場合は、必要に応じ (2) に準じてFmr又はFmsを求めることができる。

「別紙  $(4) - 2 \sim (4) - 6$  同左]

|別紙(4)―7 総合雑音を考慮した4PSK 方式の詳細判定法における | 別紙(4)―7 総合雑音を考慮した4PSK 方式の詳細判定法におけ るフェージングマージン (Fm) の算出方法

Pr:平常時受信入力 (dBm)

より求める。

Prni:受信機の熱雑音電力 (dBm)

C/Nid: 平常時における搬送波電力対異経路干渉雑音電力比 (dB) 別紙(4)-8により求める。

C/Nsat: 平常時における静止衛星からの干渉波による搬送波 電力対干渉雑音電力比(dB) ただし、7.5 GHz帯のみ考慮し、別紙(4) -8に

C/No: 符号誤り率 $10^{-4}$  (電力系統保護用信号を含む場合は  $10^{-7}$ ) を確保するために必要な総合の搬送波電力 対雑音電力比 (dB)

受信感度-10log(ボルツマン定数×温度(300K)× 等価雑音帯域幅)-雑音指数

C/Nconst:搬送波電力対歪雑音電力比(dB) 伝送容量が6Mbps以上の場合は32.8dB(電力系統 保護用信号を含む場合も同じ)、3Mbps以下の場合 は27.1dB(電力系統保護用信号の場合は27.9dB)

C/Nis: 搬送波電力対同経路干渉雑音電力比(dB) 別紙(4) — 8により求める。

[別紙(4)-8 略]

別紙(4)一9 16QAM 方式、64QAM 方式、128QAM 方式<u>、256QAM 方式、512QAM 方式、1024QAM 方式、2048QAM 方式</u>のフェージング時の熱雑音及び干渉雑音による断時間率(PN)の算出方法

PNは、次式により求める。

(第一受信時) 
$$PN = \frac{\alpha MAIN \cdot (PR - Pa) + \beta aPa}{PR} \cdot 10^{-Fdm/10}$$

$$PN = \frac{\alpha SD \cdot (PR - Pa) + \beta a^2 Pa}{PR \cdot (1 - \rho)} \cdot 10^{-Fdm/5}$$

Prni:受信機の熱雑音電力 (dBm)

C/Nid: 平常時における搬送波電力対異経路干渉雑音電力比 (dB) 別紙(4)-8により求める。

C/Nsat: 平常時における静止衛星からの干渉波による搬送波電力対干渉雑音電力比(dB) ただし、7.5 GHz帯のみ考慮し、別紙(4)-8により求める。

C/No: 符号誤り率 $10^{-4}$ (電力系統保護用信号を含む場合は $10^{-7}$ )を確保するために必要な総合の搬送波電力対雑音電力比(dB)

伝送容量が 6 Mbps以上の場合は15. 8 dB (電力系統保護用信号を含む場合は18. 6 dB) 、3 Mbps以下の場合は14. 8 dB (電力系統保護用信号の場合は18. 6 dB)

C/Nconst:搬送波電力対歪雑音電力比(dB) 伝送容量が6Mbps以上の場合は32.8dB(電力系統保 護用信号を含む場合も同じ)、3Mbps以下の場合は 27.1dB(電力系統保護用信号の場合は27.9dB)

C/Nis:搬送波電力対同経路干渉雑音電力比(dB) 別紙(4)—8により求める。

[別紙(4)-8 同左]

別紙 (4) — 9 16QAM方式、64QAM方式及び128QAM方式のフェージン グ時の熱雑音及び干渉雑音による断時間率 (PN) の算出方法 PNは、次式により求める。

PN = 
$$\frac{\alpha MAIN \cdot (PR - Pa) + \beta aPa}{PR} \cdot 10^{-Fdm/10}$$
(以及受信時)
$$PN = \frac{\alpha SD \cdot (PR - Pa) + \beta a^2 Pa}{PR \cdot (1 - \rho)} \cdot 10^{-Fdm/5}$$

 $\alpha$  MAIN: 単一受信時のフェージングの長周期変動による 増加係数。別紙(4) — 4 により求める。

Pa:減衰性フェージング発生確率。

別紙(4) -2 により求める。

βa:減衰性フェージング発生時の中央値低下。

別紙(4) -4 により求める。

 $\alpha$  SD: SD受信時のフェージングの長周期変動による増加係数。 別紙 (4) -4 により求める。

Fdm:総合雑音を考慮した16QAM方式、64QAM方式、128QAM方式、256QAM方式、512QAM方式、1024QAM方式、2048QAM方式の詳細判定法における限界フェージングマージン(dB)  $Fdm=Fd+\eta$ 

Fd:狭帯域の受信電力限界フェージングマージン (dB)

η:広帯域受信電力フェード量減少係数 別紙(4)-6により求める。

ρ:SD空中線空間相関係数。

別紙(4)-5により求める。

ここで、

C/Nth: 平常時における搬送波電力対熱雑音電力比(dB)

C/Nth=Pr-Prni

Pr: 平常時受信入力 (dBm)

Prni:受信機の熱雑音電力 (dBm)

C/Nxpd:平常時における交差偏波識別度(XPD)に対するC/N値(dB)

「通常の場合]

 $10^{-C/Nxpd/10} = 0$ 

[コチャネル配置の場合]

 $\alpha$  MAIN: 単一受信時のフェージングの長周期変動による 増加係数。別紙 (4) — 4 により求める。

Pa:減衰性フェージング発生確率。 別紙(4)-2により求める。

 $\beta$ a:減衰性フェージング発生時の中央値低下。

別紙(4) — 4により求める。

 $\alpha$  SD: SD受信時のフェージングの長周期変動による増加係数。 別紙(4)—4により求める。

Fdm:総合雑音を考慮した16QAM方式、64QAM方式及び128QAM方式 の詳細判定法における限界フェージングマージン(dB)

 $Fdm = Fd + \eta$ 

Fd: 狭帯域の受信電力限界フェージングマージン(dB)

η: 広帯域受信電力フェード量減少係数 別紙(4)-6により求める。

ρ:SD空中線空間相関係数。

別紙(4) — 5により求める。

ここで、

C/Nth:平常時における搬送波電力対熱雑音電力比(dB)

C/Nth=Pr-Prni

Pr:平常時受信入力 (dBm)

Prni:受信機の熱雑音電力 (dBm)

C/Nxpd: 平常時における交差偏波識別度 (XPD) に対するC/N 値 (dB)

「通常の場合]

 $10^{-C/Nxpd/10} = 0$ 

[コチャネル配置の場合]

 $C/Nxpd = XPDo + XPIC_0$ 

XPDo:空中線のXPDで平常時は38dBとする。

XPIC<sub>0</sub>:装置のXPICによる改善量で18dB、またはそれより高い実力値とする。

- C/Nid: 平常時における搬送波電力対異経路干渉雑音電力比 (dB) 別紙 (4) -8により求める。
- C/Nsat: 平常時における静止衛星からの干渉波による搬送波電力対干渉雑音電力比 (dB) ただし、7.5 GHz帯のみ考慮し、別紙(4) —8により求める。
- C/No: 符号誤り率 $10^{-4}$  (電力系統保護用信号を含む場合は  $10^{-7}$ ) を確保するために必要な総合の搬送波電力対 雑音電力比 (dB)。

「C/No=受信感度-10log(ボルツマン定数×温度 (300K)×等価雑音帯域幅)-雑音指数 より求める。

- C/Nconst:搬送波電力対歪雑音電力比(dB)。次表による。
- C/Nis:搬送波電力対同経路干渉雑音電力比(dB) 別紙(4)-8により求める。
- C/Ner:搬送波電力対隣接チャンネル漏えい電力比(dB) 「通常の場合]

 $10^{-C/Ncr/10} = 0$ 

[同一偏波に2つのキャリアを平行して伝送する場合] C/Ncr=37.5 (dB)

ただし、電力系統保護用信号を含む場合は、40dBとする。

使用周波数带	変調方式	搬送波電力対歪雑音電力比 (C/Nconst) (dB) <sub>注</sub>
6.5GHz帯	16QAM	38. 5 (43. 3)
7.5GHz帯	128QAM	45.0 (47.5)
	64QAM	37. 0

 $C/Nxpd = XPDo + XPIC_0$ 

XPDo:空中線のXPDで平常時は38dBとする。 XPICo:装置のXPICによる改善量で18dBとする。

- C/Nid: 平常時における搬送波電力対異経路干渉雑音電力比 (dB) 別紙 (4) -8により求める。
- C/Nsat: 平常時における静止衛星からの干渉波による搬送波電力対干渉雑音電力比 (dB) ただし、7.5 GHz帯のみ考慮し、別紙(4) -8 により求める。
- C/No: 符号誤り率 $10^{-4}$ (電力系統保護用信号を含む場合は  $10^{-7}$ )を確保するために必要な総合の搬送波電力対雑音 電力比(dB)。 次表による。

C/Nconst:搬送波電力対歪雑音電力比(dB)。次表による。

C/Nis:搬送波電力対同経路干渉雑音電力比(dB) 別紙(4)-8により求める。

C/Ner:搬送波電力対隣接チャンネル漏えい電力比(dB) 「通常の場合]

 $10^{-C/Ncr/10} = 0$ 

[同一偏波に2つのキャリアを平行して伝送する場合] C/Ncr=37.5 (dB)

ただし、電力系統保護用信号を含む場合は、40dBとする。

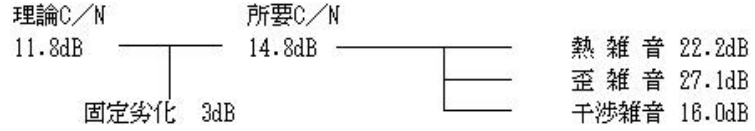
使用周波数 変調方式		搬送波電力	総合の搬送波電力
帯		对歪雑音電力比	対雑音電力比
		(C/Nconst)	(C/No) (dB) <sub>注</sub>
		(dB) 注	
6.5GHz帯	16QAM	38.5 (43.3)	<u>21.5 (26.3)</u>

256QAM	48.2 (50.7)
512QAM	51.5 (54.0)
1024QAM	<u>55. 0 (57. 5)</u>
2048QAM	59.2 (61.7)

注 括弧内は、電力系統保護用信号を含む場合の値。 「別紙 (4) —10  $\sim$  (4) —12 略]

別紙 (4) —13 雑音配分

- 1 4 PSK 方式で占有周波数帯幅の許容値が 2.5 MHz のもの
  - (1) BER= $10^{-4}$



(2) BER=10<sup>-7</sup> (電力系統保護用信号を含む場合) 所要C/N 理論C/N - 18.6dB — 歪雑音 27.9dB 固定劣化 4dB 干涉雑音 20.0dB

- 2 4 PSK 方式で占有周波数帯幅の許容値が 5 MHz 又は 9.5 MHz のも 2 4 PSK方式で占有周波数帯幅の許容値が 5 MHz 又は 9.5 MHz のもの  $\mathcal{O}$ 
  - (1) BER= $10^{-4}$

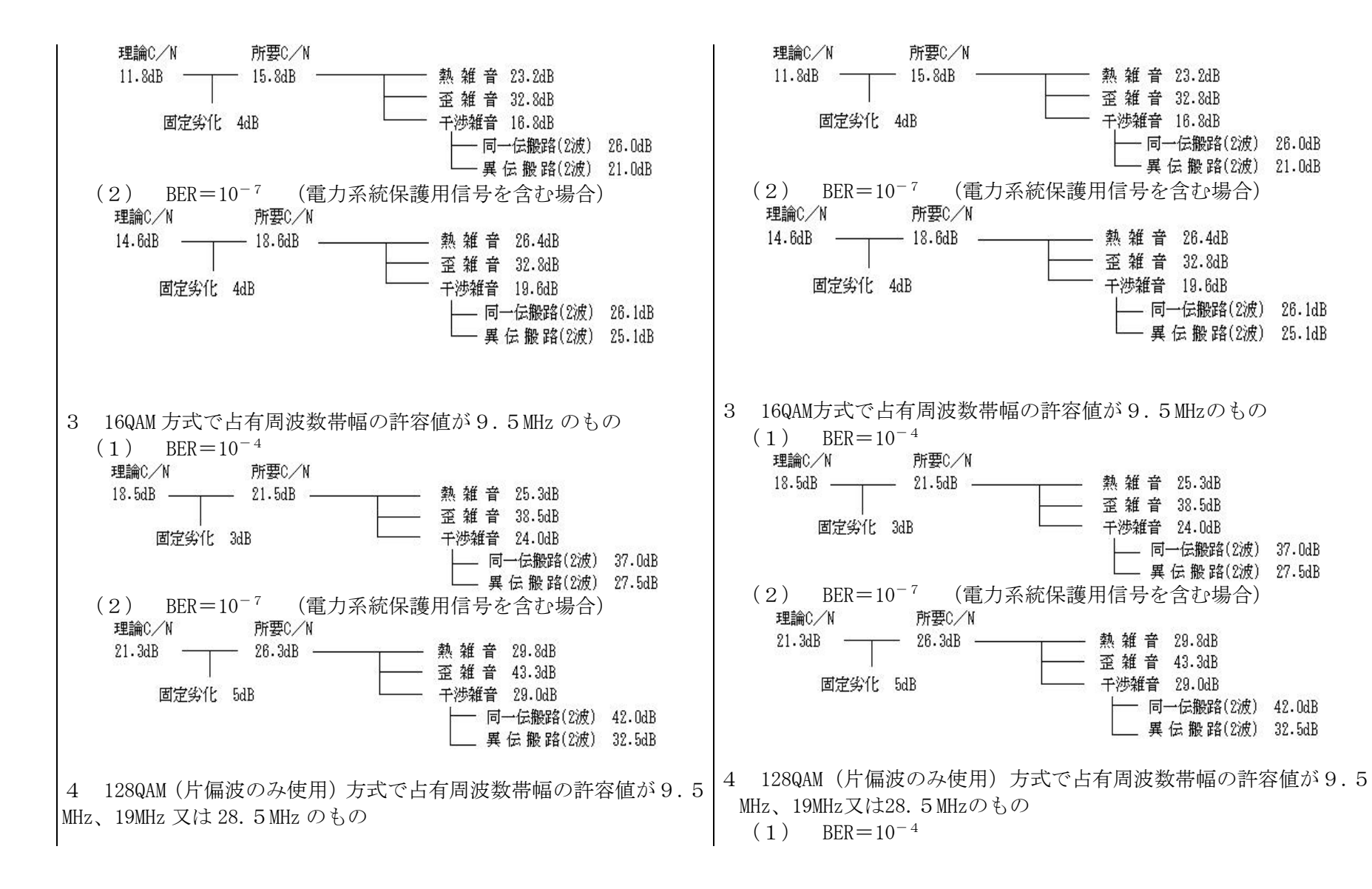
7.5GHz帯	128QAM	45.0 (47.5)	28.0 (30.5)
	64QAM	37. 0	<u>26. 0</u>

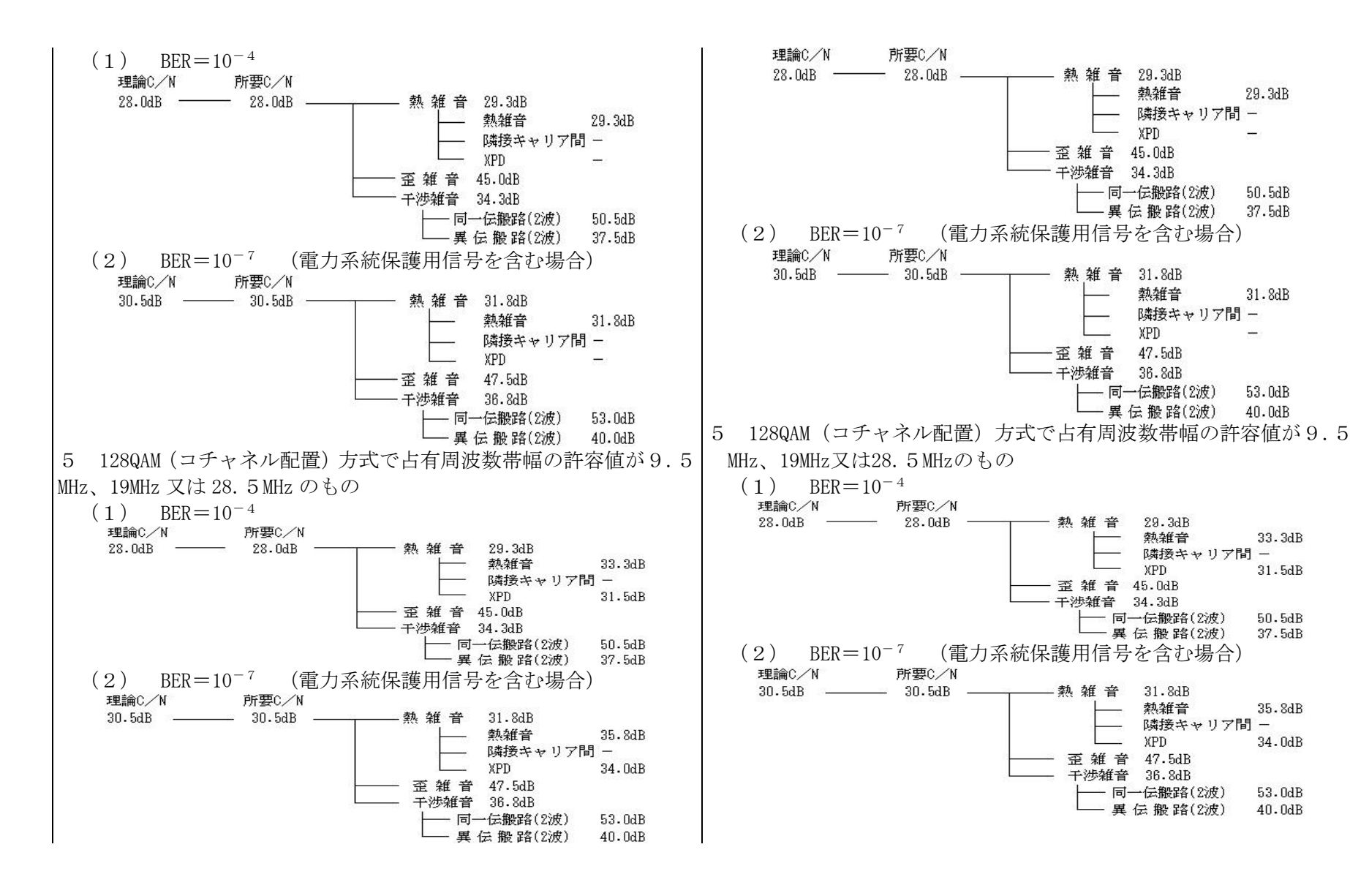
注括弧内は、電力系統保護用信号を含む場合の値。

「別紙 (4) -10  $\sim$  (4) -12 同左

別紙(4)-13 雑音配分

- 1 4 PSK方式で占有周波数帯幅の許容値が 2.5 MHzのもの
  - (1) BER= $10^{-4}$ 理論C/N 所要C/N — 14.8dB — 熱 雑 音 22.2dB 歪雑音 27.1dB 固定劣化 3dB 干涉雑音 16.0dB
  - (2) BER= $10^{-7}$  (電力系統保護用信号を含む場合) 理論C/N 所要C/N — 18.6dB — 14.6dB — 歪雑音 27.9dB 固定劣化 4dB 干涉雑音 20.0dB
- - (1) BER= $10^{-4}$





29.3dB

50.5dB

37.5dB

31.8dB

53.0dB

40.0dB

33.3dB

31.5dB

50.5dB

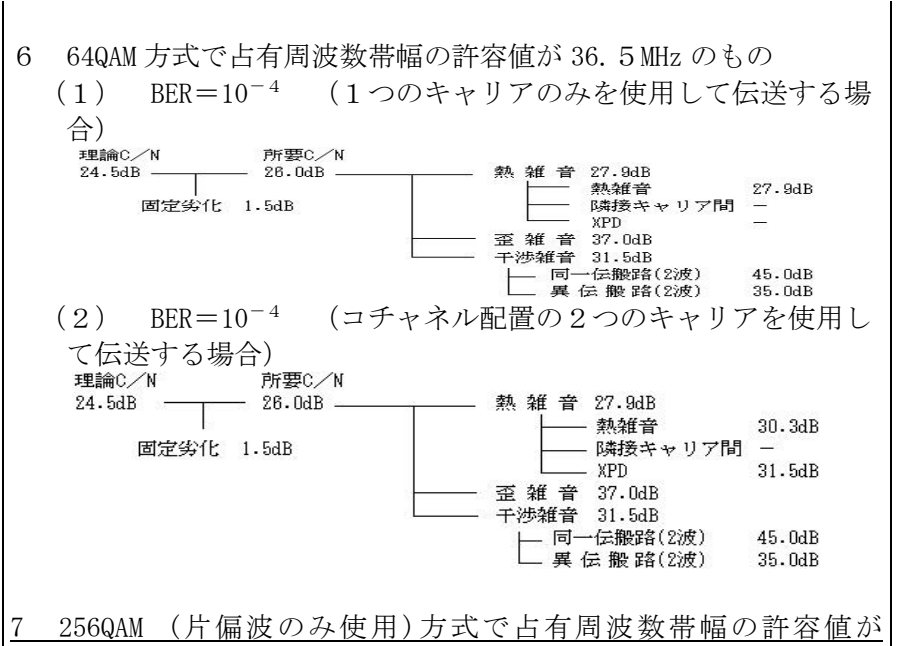
37.5dB

35.8dB

34.0dB

53.0dB

40.0dB



28.5MHz 又は36.5MHz のもの (1) BER=10<sup>-4</sup> 6 640AM方式で占有周波数帯幅の許容値が36.5 MHzのもの (1) BER= $10^{-4}$  (1つのキャリアのみを使用して伝送する場 合) 理論C/N 所要C/N 熱 雑 音 27.9dB 26.0dB -24.5dB -- 熱雑音 27.9dB 隣接キャリア間 固定劣化 1.5dB XPD 歪雑音 37.0dB 干渉雑音 31.5dB — 同一伝搬路(2波) 異 伝 搬 路(2波) 35.0dB (2)  $BER=10^{-4}$  (コチャネル配置の2つのキャリアを使用し て伝送する場合) 理論C/N 所要C/N 26.0dB 熱 雑 音 27.9dB - 熱雑音 30.3dB 固定劣化 1.5dB 隣接キャリア間 — XPD 31.5dB 歪 雑 音 37.0dB 干渉雑音 31.5dB | 同一伝搬路(2波) 45.0dB └ 異伝搬路(2波) 35.0dB

(新設)

